

บทที่ 2

วรรณกรรมและงานวิจัยที่เกี่ยวข้อง

สำหรับบทที่ 2 จะได้กล่าวถึงทฤษฎีและงานวิจัยที่เกี่ยวข้อง โดยทฤษฎีที่เกี่ยวข้องจะประกอบด้วย โครงสร้างทางกายภาพของมือและแขน ภาษาเมือง เชนเซอร์ รายละเอียดเกี่ยวกับถุงมืออิเล็กทรอนิกส์ โครงข่ายประสาทเทียมและวิธีทางพัฒนกรรม

1. โครงสร้างทางกายภาพของมือและแขน

ลักษณะท่าทางของคนเป็นการเคลื่อนที่ของอวัยวะภายนอกร่างกาย ซึ่งสามารถใช้สื่อความหมายได้มากมาย ตัวอย่างเช่น ท่าทางการโน้มือ อาจหมายถึงการบอกร้าว หรือการทักทายกัน โดยที่ไปท่าทางที่ให้ความหมายในการสื่อสารมีลักษณะการเคลื่อนที่ของอวัยวะเป็นรูปแบบแน่นอน ซึ่งรูปแบบการเคลื่อนที่เหล่านี้มีความสำคัญอย่างยิ่งต่อการจำจดและแยกแยะท่าทางอย่างถูกต้อง อย่างไรก็ตามงานวิจัยนี้มีความเกี่ยวข้องกับภาษาเมือง ดังนั้นจึงจำเป็นต้องการศึกษาข้อมูลโครงสร้างของมือ การเคลื่อนที่ของมือ แขนและหัวไหล่ เพื่อเป็นประโยชน์ต่อการออกแบบต้นแบบถุงมืออิเล็กทรอนิกส์และการแยกประเภทท่าทางของมือสำหรับการจัดจำภาษาเมือง โดยมีรายละเอียดดังนี้

1.1 โครงสร้างของมือ

เพื่อให้เกิดความเข้าใจเรื่องท่าทางของภาษาเมืองมากขึ้น จะกล่าวถึงลักษณะการเคลื่อนที่และโครงสร้างของมือดังภาพที่ 2.1 จะเห็นว่าตั้งแต่เหนือข้อมือขึ้นไป วุฒิชัย วิศวัลคุณ (2546) กล่าวว่ามีจำนวนศาริสrate 23 องศาอิสระ (Degrees of freedom) โดยมีรายละเอียดดังนี้

1.1.1 นิ้วโป้งประกอบด้วย 5 องศาอิสระ ได้แก่

- (1) ข้อต่อนิ้วโป้งที่ข้อมือ (Trapeziometacarpal joint) มี 3 องศาอิสระ
- (2) ข้อต่อนิ้วโป้งที่ฝ่ามือ (Metacarpophalangeal joint) มี 1 องศาอิสระ
- (3) ข้อต่อระหว่างกระดูก (Interphalangeal joints) มี 1 องศาอิสระ

1.1.2 นิ้วชี้ นิ้วกลาง นิ้วนาง และนิ้วก้อยประกอบด้วย 4 องศาอิสระ ได้แก่

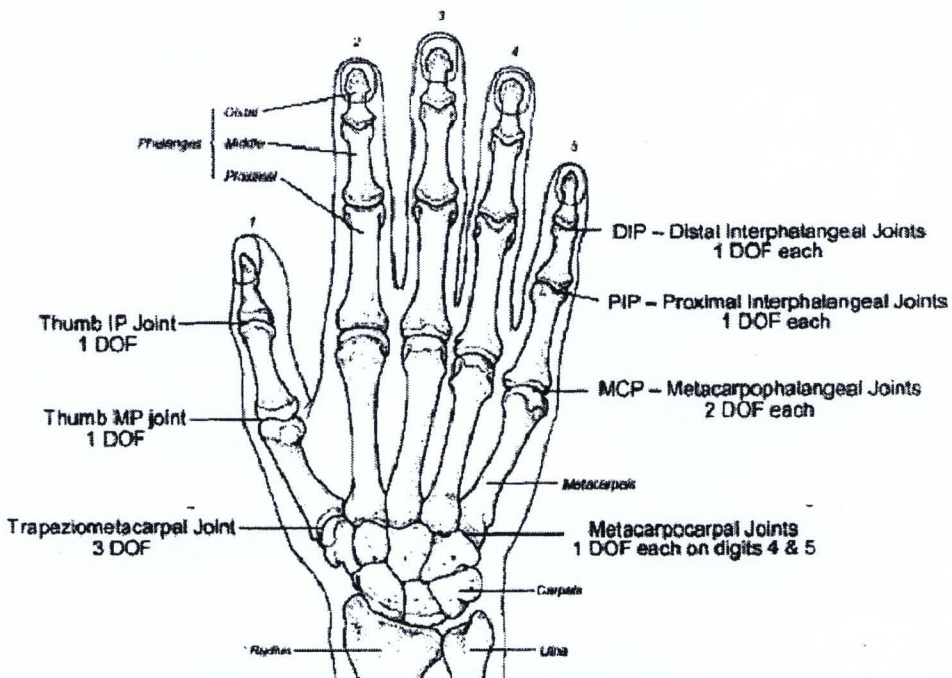
- (1) ข้อต่อที่ฝ่ามือมี 2 องศาอิสระ
- (2) ข้อต่อระหว่างกระดูกนิ้วใกล้ฝ่ามือ (Proximal) และกระดูกนิ้วท่อนกลาง (Distal) มี 1 องศาอิสระ

- (3) ข้อต่อระหว่างกระดูกนิ้วท่อนกลางและกระดูกนิ้วท่อนบนมี 1 องศาอิสระ

1.1.3 ข้อมือประกอบด้วย 2 องคາอิสระ ได้แก่

- (1) หมุนการหมุนข้อมือก้มงেย เช่น การแสดงลัญลักษณ์หยุดซึ่งเป็นการหมุนรอบแกน X เรียกว่า หมุนพิทช์ (Pitch)
- (2) หมุนการหมุนข้อมือไปด้านซ้าย เช่น การแยกไฟ เป็นการหมุนรอบแกน Y เรียกว่า หมุนyaw (Yaw)

สำหรับหมุนการพลิกฝ่ามือกลับไปกลับมานั้นเป็นการหมุนรอบแกน Z เรียกว่า หมุนโรล (Roll) แต่ไม่ได้เป็นองคາอิสระของมือ แต่เป็นองคາอิสระที่เกิดขึ้นจากการหมุนแขนบริเวณเหนื้อข้อศอก



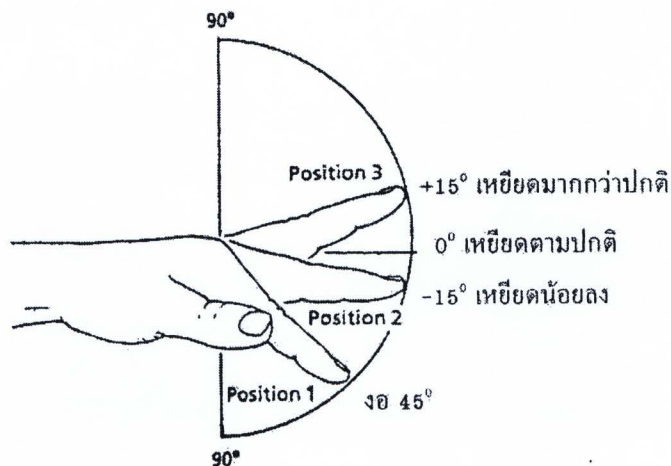
ภาพที่ 2.1 องคາอิสระของมือ (วุฒิชัย วิศาลคุณา, 2546)

1.2 การเคลื่อนที่ของมือและแขน

การเคลื่อนที่ของมือและแขนจะได้แสดงถึงขนาดขององคາ ลักษณะการเคลื่อนที่ในแบบต่างๆ ของมือและแขน ซึ่งมีรายละเอียดดังนี้

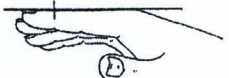
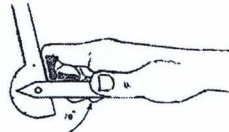
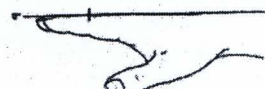
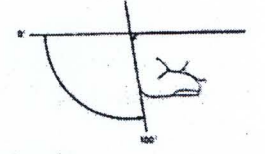
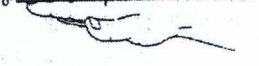
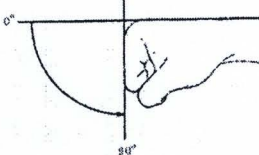
1.2.1 การเคลื่อนที่ของนิ้vmือ

การเคลื่อนไหวของข้อนิ้vmือ คือ จำนวนองคາที่ข้อเคลื่อนที่ได้ระหว่างการงอและการเหยียดเต็มที่ โดยการเคลื่อนไหวของขอนิ้vmือเริ่มต้นจาก 0 องศา ซึ่งถือเป็นตำแหน่งกลางของข้อดังภาพที่ 2.2 เป็นการแสดงการงอและเหยียดนิ้vmือ

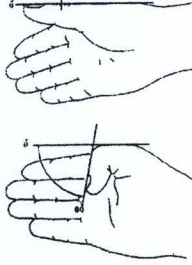
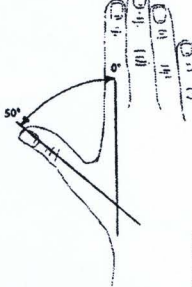


ภาพที่ 2.2 การงอและเหยียดนิ้วมือ (ประทีป โภคกุล, 2544)

ตารางที่ 2.1 คำอธิบายพร้อมภาพการเคลื่อนที่ของนิ้วมือ

| คำอธิบาย | ภาพประกอบ |
|--|--|
| (1) การงอและเหยียดข้อปลายนิ้ว <ul style="list-style-type: none"> งอได้ 70 องศา |   |
| (2) การงอและเหยียดข้อกลางนิ้ว <ul style="list-style-type: none"> งอได้ 100 องศา เหยียดได้ 0 องศา |   |
| (3) การงอและเหยียดข้อ konec นิ้ว <ul style="list-style-type: none"> งอได้ 90 องศา เหยียดได้ 0 องศา |   |

ตารางที่ 2.1 คำอธิบายพร้อมภาพการเคลื่อนที่ของนิ้วมือ (ต่อ)

| คำอธิบาย | ภาพประกอบ |
|---|--|
| (4) การอและเหยียดข้อปลายนิ้วของนิ้วหัวแม่มือ <ul style="list-style-type: none"> งอได้ 80 องศา เหยียดได้ 0 องศา |  |
| (5) การอและเหยียดข้อโคนนิ้วของนิ้วหัวแม่มือ <ul style="list-style-type: none"> งอได้ 60 องศา เหยียดได้ 0 องศา |  |
| (6) การทุบนิ้วหัวแม่มือ <ul style="list-style-type: none"> การเคลื่อนไหวที่นิ้วหัวแม่มือเคลื่อนเข้าหากันในแนวขานานกับฝ่ามือจนกระทั้ง Flexor crease ของข้อปลายนิ้วหัวแม่มือ ชิดกับ Distal palmar crease เหนือข้อโคนนิ้วก้อย |  |
| (7) การกางนิ้วหัวแม่มือ <ul style="list-style-type: none"> การเคลื่อนไหวที่นิ้วมีการออก แยกจากนิ้วชี้ในแนวขานานกับฝ่ามือ การเคลื่อนไหวของการกางนิ้วหัวแม่มือเท่ากับ 0-50 องศา |  |
| (8) การหมุนนิ้วหัวแม่มือ <ul style="list-style-type: none"> การเคลื่อนไหวที่นิ้วหัวแม่มือกระดกขึ้นจากแนวรายในทิศทางตั้งฉากกับฝ่ามือ และเคลื่อนเข้าหาใจกลางมือ |  |

(ประทีป โภคภูล, 2544)

1.2.2 การเคลื่อนไหวของข้อมือ

ข้อต่อข้อมือ มีชื่อเรียกว่า “เรดิโอลาร์ปัล” (Radio carpal) มีปลายกระดูกเรเดียลเป็นแฉ่งเว้าต่อเข้ากับกระดูกข้อมือที่เป็นรูปไข่ ข้อต่อนี้เคลื่อนไหวรอบแกนเพียงสองแกน ซึ่งการเคลื่อนไหวทั้งสองนี้ จะทำให้มุนตั้งจากซึ่งกันและกัน คือการอหังมือขึ้น หรือการอฝามือลงและการหักข้อมือ ไปทางซ้าย หรือ หักข้อมือ ไปทางขวา

ตารางที่ 2.2 คำอธิบายพร้อมภาพการเคลื่อนไหวของข้อมือ

| คำอธิบาย | ภาพประกอบ |
|---|-----------|
| <p>(1) การกระดกข้อมือขึ้นและลง</p> <ul style="list-style-type: none"> งอลงได้ 60 องศา กระดกขึ้นได้ 60 องศา | |
| <p>(2) การเบนข้อมือไปทางนิ้วหัวแม่มือและนิ้วก้อย</p> <ul style="list-style-type: none"> เบนไปทางนิ้วหัวแม่มือได้ 20 องศา ไปทางนิ้vk้อยได้ 30 องศา | |

(ประทีป โภคภูล, 2544)

1.2.3 การเคลื่อนที่ของแขน ข้อศอกและหัวไหล่

การใช้ภาษาเมืองแม้ว่าจะให้มือเป็นหลัก แต่ก็จำเป็นต้องอาศัยแขน ข้อศอก และหัวไหล่ร่วมในการทำท่าทางภาษาเมืองด้วย ดังนั้นจึงต้องศึกษาการเคลื่อนที่ของแขน ข้อศอก และหัวไหล่ด้วย ซึ่งมีข้อมูลดังตารางที่ 2.3

ตารางที่ 2.3 คำอธิบายพร้อมภาพการเคลื่อนที่ของแขน ข้อศอกและหัวไหล่

| คำอธิบาย | ภาพประกอบ |
|--|-----------|
| <p>(1) การคervaและหางยมือ</p> <ul style="list-style-type: none"> การคervaและหางยมือเป็นการเคลื่อนไหวของกล้ามเนื้อที่แขน โดยสามารถค่าว่ามือได้ 80 องศา และหางยมือได้ 80 องศา | |
| <p>(2) การอและเหยียดข้อศอก</p> <ul style="list-style-type: none"> งอได้ 140 องศา เหยียดได้ 0 องศา | |
| <p>(3) การอและเหยียดข้อไหล่</p> <ul style="list-style-type: none"> งอได้ 180 องศา เหยียดได้ 50 องศา | |

ตารางที่ 2.3 คำอธิบายพร้อมภาพการเคลื่อนที่ของแขน ข้อศอกและหัวไหล่ (ต่อ)

| คำอธิบาย | ภาพประกอบ |
|---|-----------|
| <p>(4) การกางแขนและหุบแขน</p> <ul style="list-style-type: none"> ● การออกได้ 180 องศา ● หุบเข้าได้ 50 องศา | |
| <p>(5) การหมุนข้อไหล่เข้าในและออกนอก</p> <ul style="list-style-type: none"> ● เข้าในได้ 90 องศา ● หมุนออกนอกได้ 90 องศา | |

(ประทีป โภคะกุล, 2544)

2. ภาษาเมือง

2.1 ความหมายของภาษาเมือง

ภาษาเมือง คือ ภาษาสำหรับผู้พิการด้านการฟังและการออกเสียงที่ไม่สามารถสื่อสารด้วยการพูดได้ ดังนั้นภาษาเมืองจึงเป็นภาษาที่ใช้ทำทางการเคลื่อนไหวของมือเป็นหลัก ประกอบกับ กิริยาอาการของใบหน้าและร่างกายส่วนอื่นมาช่วยประกอบกัน เพื่อการสื่อความหมายและการถ่ายทอดอารมณ์แทนการพูด ซึ่งทำภาษาเมืองที่แสดงออกมาจะต้องเป็นทำที่ทำง่าย สะดวก รวดเร็ว มีความหมายใกล้เคียงกับธรรมชาติและเหมาะสมกับหลักสรีรศาสตร์ ทำมือควรจะทำอย่างมีจังหวะ คือ มีการเว้นระยะไม่ทำทำทางรวดเร็วจนเกินไปและอยู่ในรัศมีที่สายตาสามารถมองเห็นได้ชัดเจน ภาษาเมืองเป็นภาษาที่นักการศึกษาทางด้านการศึกษาของผู้พิการด้านการฟัง تكلกลงและยอมรับแล้วว่าเป็นภาษาหนึ่งสำหรับติดต่อสื่อสารระหว่างผู้พิการด้านการฟังกับผู้พิการ ด้านการฟังและระหว่างบุคคลทั่วไปกับผู้พิการด้านการฟัง โดยจะมีโครงสร้างและรูปแบบแตกต่างกันออกไปในแต่ละชาติเช่นเดียวกับภาษาพูด ซึ่งภาษาเมืองสามารถแบ่งออกได้เป็น 2 ประเภทดังนี้

2.1.1 ภาษามือธรรมชาติ

สร้างขึ้นโดยกลุ่มผู้พิการด้านการฟัง เพื่อนำมาใช้ร่วมกันภายในชุมชนหรือชาติ ซึ่งลักษณะของท่าทางจะเป็นการเลียนแบบธรรมชาติ โดยภาษามือแบบนี้จะไม่มีความเกี่ยวข้องกับภาษาพูด

2.1.2 ภาษามือประดิษฐ์

เป็นภาษามือที่นักการศึกษาที่เกี่ยวข้องกับผู้พิการด้านการฟังคิดค้นขึ้นแทนภาษาพูดและภาษาเขียนประจำชาติ เพื่อให้เป็นมาตรฐานสำหรับใช้ในการศึกษาและการสื่อสารซึ่งแต่ละท่าของภาษามือแทนเสียงหรือคำของภาษาพูด โดยภาษามือที่อิงภาษาพูดนี้สามารถแบ่งออกเป็น 2 ประเภท คือ

- (1) ภาษามือที่มีทำมือแทนตัวอักษรแบบตัวต่อตัวหรือการสะกดนิ้วมือ
- (2) ภาษามือที่มีทำมือแทนคำ หรือหน่วยคำของภาษาพูด

2.2 โครงสร้างของภาษามือ

เนื่องจากภาษามือจำเป็นต้องใช้ท่าทางการเคลื่อนไหวของมือเป็นหลัก ดังนั้นจึงมีการจำแนกโครงสร้างของภาษามือออกเป็น 4 ส่วนดังนี้

2.2.1 รูปแบบของมือ (Hand shape) เป็นการงอ การ枉 หรือการสูบมือให้อยู่ในรูปแบบที่แตกต่างกัน เช่น การกำมือ แบบมือ กางนิ้ว เป็นต้น ซึ่งคำแต่ละคำในภาษามือจะมีลักษณะการใช้มือที่ไม่เหมือนกัน โดยแบ่งเป็นการใช้มือข้างเดียวหรือการใช้มือสองข้าง

2.2.2 ตำแหน่งของมือ (Location) เป็นตำแหน่งของมือในแนวแกน 3 มิติ (X Y และ Z) โดยตำแหน่งของมือจะต้องอยู่ในรัศมีที่ความสามารถของเห็นได้อย่างชัดเจน ในบางกรณีที่รูปแบบมือเหมือนกันแต่ตำแหน่งแตกต่างกันความหมายก็จะแตกต่างกันด้วย

2.2.3 ทิศทางของฝ่ามือ (Orientation) เป็นส่วนประกอบสำคัญอีกอย่างหนึ่งที่มีผลต่อความหมายในภาษามือ เช่น การทำรูปแบบมือเหมือนกัน ตำแหน่งของมืออยู่ในตำแหน่งเดียวกัน แต่ทิศทางของฝ่ามือแตกต่างกัน โดยการกำหนดนิวชีหันมือไปด้านหน้า หมายถึง “คุณ” ถ้าหมุนมือชี้เข้าหาตัวจะหมายถึง “ฉัน”

2.2.4 การเคลื่อนไหวของมือ (Motion) การเคลื่อนที่ของมือหลากหลายแบบ เช่น การเคลื่อนที่เป็นเส้นตรง แนวโถง เป็นต้น รูปแบบมือแบบเดียวกันแต่เมื่อทิศทางที่ไม่เหมือนกัน ความหมายก็จะแตกต่างกัน เช่น เมื่อมือทั้งสองข้างตั้งขึ้น หัวแม่มือชิดกัน แล้วเลื่อนมือออกจากกัน หมายถึง “เปิด” แต่ถ้าตั้งมือทั้งสองห่างกันพอสมควรแล้วเลื่อนเข้าหากันจนนิ้วหัวแม่มือชิดกัน หมายถึง “ปิด”

2.3 การสะกดนิ้วมือ

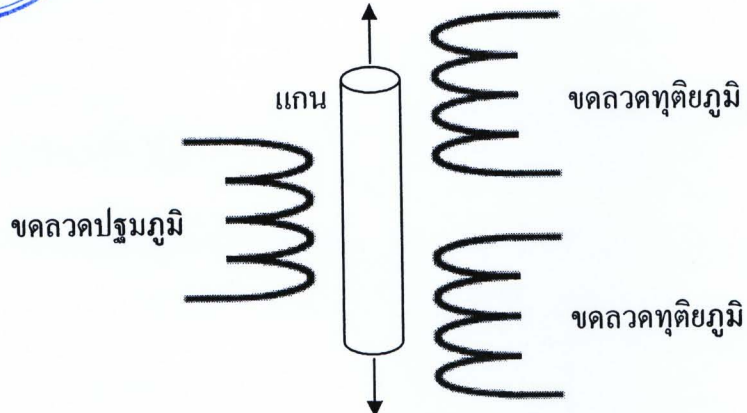
การสะกดนิ้วมือ คือ การที่บุคคลทำทำด้วยนิ้วมือเป็นรูปต่างๆ แทนตัวพยัญชนะ สาระณุกต์ ตลอดสัญลักษณ์อื่นๆ เพื่อการสื่อภาษา โดยที่นำไปแล้วตัวอักษรที่สะกดด้วยนิ้วมือ (Manual alphabets) จะมีจำนวนเท่ากับตัวอักษรของภาษาพูดในแต่ละภาษานั้นๆ

3. เชนเซอร์และทราบดิวเซอร์

สิ่งที่สำคัญในการพัฒนาต้นแบบถุงมืออิเล็กทรอนิกส์ในงานวิจัยนี้คือเชนเซอร์ เชนเซอร์ หมายถึง อุปกรณ์ที่เปลี่ยนแปลงค่าทางฟิสิกส์ เช่น ความร้อน ความดัน ความเร็ว และแสงไปเป็นสัญญาณทางไฟฟ้า เพื่อใช้ควบคุม หรือส่งข้อมูลแก่อุปกรณ์ไฟฟ้า หรืออุปกรณ์อิเล็กทรอนิกส์ เช่น เชนเซอร์วัดความเข้มของแสง เป็นต้น ทราบดิวเซอร์ หมายถึง อุปกรณ์ที่เปลี่ยนพลังงาน หรือสัญญาณทางฟิสิกส์รูปแบบหนึ่งเป็นพลังงาน หรือสัญญาณทางฟิสิกส์อีกรูปแบบหนึ่ง เช่น หลอดไฟเปลี่ยนพลังงานไฟฟ้าให้เป็นพลังงานแสง และพลังงานความร้อน ลำโพงเปลี่ยนสัญญาณทางไฟฟ้าให้เป็นเสียง ดังนั้นจึงกล่าวได้ว่าเชนเซอร์คือทราบดิวเซอร์ชนิดหนึ่ง เชนเซอร์ จัดเป็นอุปกรณ์สำคัญชนิดหนึ่งสำหรับงานด้านไฟฟ้า และอิเล็กทรอนิกส์ในการควบคุม ตรวจจับ และให้ข้อมูลแก่เครื่องจักรในโรงงานอุตสาหกรรม ทุนยนต์ เครื่องใช้ไฟฟ้า และรถยนต์ เชนเซอร์แบ่งออกหลายประเภท หลายขนาด ขึ้นอยู่กับการงาน และลักษณะของงานที่จะนำไปใช้ ดังนั้นการเลือกใช้งานเชนเซอร์ที่เหมาะสมกับงานจึงเป็นสิ่งที่จำเป็น

3.1 แอลวีดีที (Linear Variable Differential Transformer: LVDT)

แอลวีดีทีใช้สำหรับวัดการเคลื่อนที่ในแนวเส้นตรงประกอบด้วยชุดลวด 3 ชุด คือ ชุดลวดปฐมภูมิหนึ่งชุด (อยู่ตรงกลาง) และชุดลวดทุติยภูมิสองชุด (ประกอบชุดลวดปฐมภูมิหัวท้าย) มีแกนกลางเป็นแกนเหล็กมวลต่ำรูปทรงกระบอกดังภาพที่ 2.3 ช่วงของความถี่ที่นิยมใช้อยู่ระหว่าง 1-10 kHz ซึ่งทำงานโดยอาศัยการเหนี่ยวนำสนามแม่เหล็กจากชุดลวดปฐมภูมิไปยังชุดลวดทุติยภูมิทำให้เกิดค่าความต่างศักย์กระแสลับ ค่าความต่างศักย์เกิดจากผลต่างของค่าความต่างศักย์ของชุดลวดทุติยภูมิสองชุดซึ่งจะมีเฟสตรงกันข้ามกัน ค่าความต่างศักย์ที่ได้จะมีค่าเข้าใกล้ศูนย์เมื่อแกนเหล็กอยู่ตรงกลางระหว่างชุดลวดทั้งสาม



ภาพที่ 2.3 โครงสร้างของแอลวีดีที

การปรับสภาพสัญญาณจากการกระแสลับเป็นกระแสตรงทำได้โดยการตรวจจับความไว เพื่อของค่าความต่างศักย์ในขดลวดทุติยภูมิทั้งสอง ซึ่งค่าความต่างศักย์กระแสตรงจะมี ความสัมพันธ์กับการเคลื่อนที่ของแกน ส่วนค่าบวกหรือลบของค่าความต่างศักย์จะบอกถึงทิศทางการเคลื่อนที่ของแกน การตรวจจับการเคลื่อนที่สามารถให้ค่าเป็นเชิงเส้นจะอยู่ในช่วง 25 เชนติเมตร ถึง 1 มิลลิเมตร โดยมีหน่วยเป็นค่าความต่างศักย์ต่อระยะทาง คือ มิลลิโวลต์ต่อ มิลลิเมตร (mV/mm) คุณสมบัติของแอลวีดีทีมีดังนี้

แหล่งจ่าย: $1-10 \text{ kHz } 5 \text{ Vrms}$

กระแสจากแหล่งจ่าย: $5 \text{ to } 10 \text{ mA}$

ข้อมูลอุด:

Differential AC Signal

ความไม่เป็นเชิงเส้น: $0.2\% \text{ ถึง } 0.5\% \text{ Depending on Stoke}$

Length and Type

Resolution: Nearly Infinite

Operating temperature range: $-25 \text{ ถึง } 85^\circ\text{C}$

3.2 เช่นเซอร์โซล์เอฟเฟกต์ (Hall effect sensor)

ซอล์เอฟเฟกต์ใช้ในการตรวจจับความเข้มของสนามแม่เหล็ก ซึ่งอาศัย原理การณ์ ซอล์ทำให้เกิดความต่างศักย์ค่าหนึ่งที่เปลี่ยนแปลงตามความเข้มของสนามแม่เหล็ก ถ้านำข้าวเหนือเข้าใกล้ค่าความต่างศักย์จะเพิ่มขึ้นทางด้านลบ (-) และถ้านำข้าวไว้ตื้อเข้าใกล้ค่าความต่างศักย์จะเพิ่มขึ้นทางด้านบวก (+) ความต่างศักย์ที่เปลี่ยนไปมีความสัมพันธ์กับความเข้มของสนามแม่เหล็กหรือความหนาแน่นฟลักซ์แม่เหล็กดังนี้

| | |
|---------------------------------|---------------------------|
| สำนักงานคณะกรรมการวิจัยแห่งชาติ | |
| ห้องสมุดรายวิชา | |
| รุ่นที่..... | วันที่..... - 3 ก.ย. 2555 |
| เลขที่บันทึก..... 248521 | |
| เลขเรื่องงานนี้คือ..... | |

$$B = (V_{\text{out}}(B) - V_{\text{out}}(0)) * S - 1 \quad (2.1)$$

เมื่อ $V_{\text{out}}(0)$ คือ ความต่างศักย์ขณะไม่มีสนามแม่เหล็ก

$V_{\text{out}}(B)$ คือ ความต่างศักย์ขณะมีสนามแม่เหล็ก

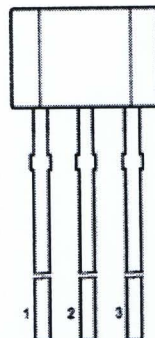
S คือ สัมประสิทธิ์ความไว มีหน่วยเป็นโวลต์ต่อเทสลา (V/T)

B คือ ความเข้มของสนามแม่เหล็ก หรือความหนาแน่นฟลักซ์แม่เหล็ก มีหน่วยเป็นเทสลา (T)

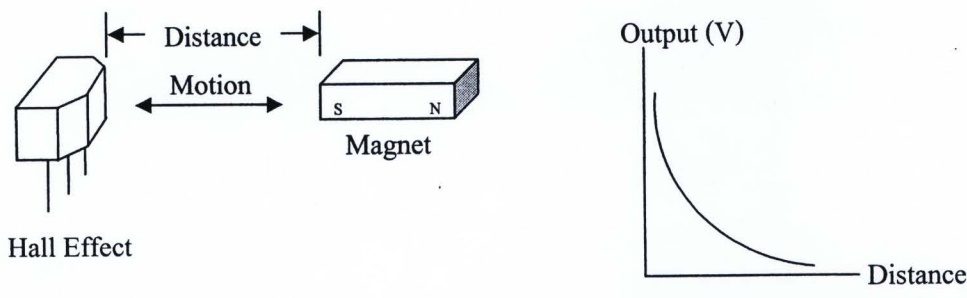
ค่าความต่างศักย์ที่เกิดขึ้นจะเพิ่มขึ้นหรือลดลงขึ้นอยู่กับระยะห่างระหว่างสนามแม่เหล็กที่เข้าใกล้บริเวณตัวนำกระแสไฟฟ้าภายในเซนเซอร์ ถ้าอยู่ใกล้ค่าความต่างศักย์ที่ได้จะสูง แต่ถ้าอยู่ไกลค่าความต่างศักย์จะต่ำลงจนเหลือเท่ากับครึ่งหนึ่งของความต่างศักย์ที่จ่ายให้ การใช้ชอล์ส์เอฟเฟกต์สำหรับการตรวจสอบตำแหน่งหรือการเคลื่อนที่ วิธีพื้นฐานที่ง่ายที่สุด คือ การวัดความเข้มของสนามแม่เหล็กแบบ Unipolar head-on mode ดังภาพที่ 2.5(ก) แต่วิธีการนี้ค่าความต่างศักย์ที่ได้มีเสถียรภาพต่ำ ไม่เป็นเชิงเส้น และการตรวจจับความเข้มสนามแม่เหล็กระยะลั่น (ประมาณ 20 มิลลิเมตร) ส่วนวิธีแบบ Bipolar slide-by และ Push-push approach จะให้ค่าความต่างศักย์เป็นเชิงเส้นดังภาพที่ 2.5(ข) และ 2.5(ค) สำหรับค่าความต่างศักย์กับระยะห่างที่ได้จำกัด วิธีแบบ Push-push approach จะมีเสถียรภาพดีที่สุด (Nyce, 2004; Gilbert & Dewey, 2002) คุณสมบัติของชอล์ส์เอฟเฟกต์ (Nyce, 2004) มีดังนี้

| | |
|----------------------|-------------------|
| ช่วงการใช้งาน: | 20 mm |
| แหล่งจ่าย: | 5 V dc |
| ความไว: | 200 mV/mm |
| ความไม่เป็นเชิงเส้น: | ±2.0% |
| การทำชา: | ±0.03 mm |
| Hysteresis: | ±0.09 mm |
| ขนาด: | 22.0 mm * 63.0 mm |

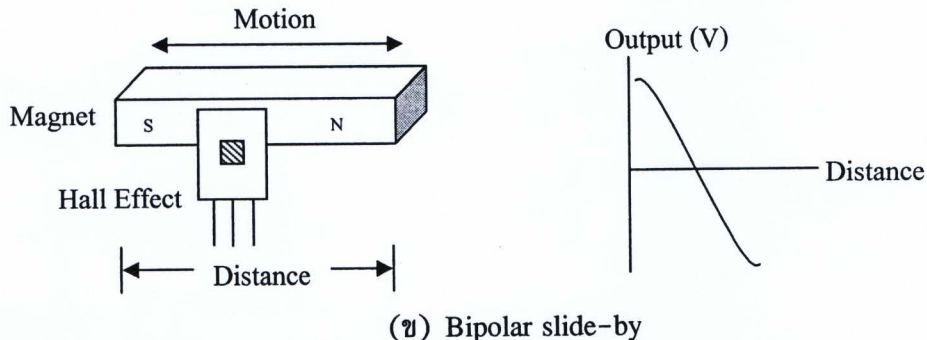
ชอล์ส์เอฟเฟกต์สามารถใช้วัดสนามแม่เหล็กบริเวณใกล้แม่เหล็กทราบ สนามแม่เหล็กที่เกิดขึ้นบริเวณปลาย ใช้เลนอยด์และสนามแม่เหล็กใกล้เส้นลวดตัวนำที่มีกระแสไฟฟ้าผ่านได้



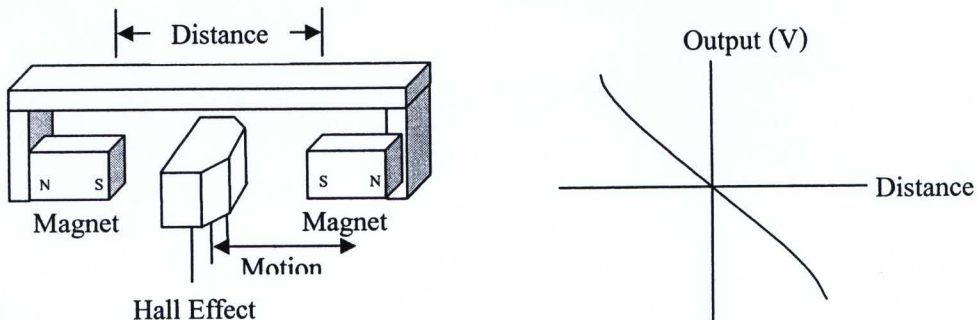
ภาพที่ 2.4 เช่นเซอร์ชอล์ฟเฟกต์ (ขา 1: Vcc ขา 2: GND และขา 3: Vout)



(น) Unipolar head-on mode



(บ) Bipolar slide-by



(ค) Push-push approach

ภาพที่ 2.5 รูปแบบการใช้งานเอฟเฟกต์เซนเซอร์

3.3 เช่นเซอร์วัดความเร่ง (Accelerometer)

เช่นเซอร์วัดความเร่งเป็นเช่นเซอร์ที่ใช้ตรวจจับความเร่ง การเคลื่อนที่ หรือการตกแบบอิสระ เป็นต้น ความเร่ง หมายถึง อัตราการเปลี่ยนแปลงความเร็วของวัตถุหรือจุดบนวัตถุมีหน่วยเป็นเมตรต่อวินาทีกำลังสอง (m/s^2) โดยจะอยู่ในแบบเชิงเส้นเมื่อมีการเคลื่อนที่ในแนวตรงหรือแบบเชิงมุมเมื่อวัตถุมีการหมุน เช่นเซอร์วัดความเร่งยังสามารถวัดผลจากแรงโน้มถ่วงของโลกได้ ถ้าเป็นการตกแบบอิสระภายใต้แรงโน้มถ่วงของโลกจะได้ค่า $1\ g$ ($9.81\ m/s^2$) เช่นเซอร์วัดความเร่งมีหลากหลายประเภทแต่ชนิดที่นิยมใช้กันมาก ได้แก่

3.3.1 Piezoelectric ประกอบด้วยมวลและพลีกเซรามิก พลีกเซรามิกเป็นสารประกอบชนิดหนึ่งที่มีคุณสมบัติในการเปลี่ยนพลังงานกลเป็นพลังงานไฟฟ้า โดยประจุไฟฟ้าที่ได้ออกมาจะเป็นสัดส่วนกับแรงที่มากระทำกับเซนเซอร์เมื่อเกิดความเร่ง

3.3.2 MEMS (Micro-Electrical Manufactured Systems; MEMS) เป็นเช่นเซอร์วัดความเร่งประเภทที่ใช้ระบบผลิตไฟฟ้าขนาดเล็ก โดยใช้หลักการสั่นสะเทือนของมวลที่ตั้งอยู่บนคานขนาดเล็ก เมื่อเซนเซอร์มีการเคลื่อนที่คานจะมีการโถงตัวตามปริมาณของความเร่ง และส่งกระแสไฟฟ้าออกตามปริมาณของความเร่งที่เกิดขึ้น

3.3.3 Capacitive มีโครงสร้างคล้ายกับ MEMS แต่จะที่ใช้สปริงรวมกับมวลแทน และใช้การเปลี่ยนแปลงระยะห่างระหว่างแผ่นของตัวเก็บประจุตามสัดส่วนของแรงที่มากระทำกับเซนเซอร์

อย่างไรก็ตามเช่นเซอร์วัดความเร่งสามารถวัดความเร่งได้มากกว่านั้นแน่น ซึ่งการวัดความเร่งนั้นสามารถทำได้พร้อมกันทุกแกน สำหรับเซนเซอร์วัดความเร่งแบบสามมิติ (Three-dimensional) ยังสามารถนำมาใช้ร่วมกับการตรวจจับการเคลื่อนที่ส่วนต่างๆ ของร่างกายได้

4. รายละเอียดเกี่ยวกับถุงมืออิเล็กทรอนิกส์

ถุงมืออิเล็กทรอนิกส์อีกสีอ่อนเป็นอุปกรณ์สำหรับป้อนข้อมูลให้แก่คอมพิวเตอร์อิเกชันดหนึ่ง เช่นเดียวกับเมาส์หรือแป้นพิมพ์ เป็นต้น ซึ่ง Dipietro et al. (2008) ได้ให้นิยามระบบพื้นฐานของถุงมือไว้ว่าเป็นระบบที่ประกอบด้วยชุดเซนเซอร์ ชุดอุปกรณ์อิเล็กทรอนิกส์สำหรับการรับคำหรือประมวลผลและแหล่งจ่ายกระแส ซึ่งชุดเซนเซอร์จะถูกยึดติดกับถุงมือเพื่อใช้ตรวจจับท่าทางและการเคลื่อนที่ของมือผู้ใช้งานขณะสวมใส่ การพัฒนาถุงมืออิเล็กทรอนิกส์สำหรับตรวจจับท่าทางและการเคลื่อนที่ของมือ เริ่มขึ้นตั้งแต่ ค.ศ. 1970 โดยสถาบันเทคโนโลยีแมสซาชูเซ็ต และตั้งแต่นั้นมาเป็นเวลา 30 ปีก็ได้ปรากฏรูปแบบของถุงมือขึ้นมากมายทั้งในด้านงานวิจัยหรือรูปแบบสินค้า (Sturman & Zeltzer, 1994) และยังถูกนำไปใช้งานอย่างแพร่หลายในด้านต่างๆ เช่น การตรวจจับท่าทางภาษาอังกฤษ ด้านการแพทย์ การสร้างโมเดลสามมิติหรือการควบคุมหุ่นยนต์ เป็นต้น จากรูปแบบของถุงมือที่มีอยู่หลากหลายจึงได้ยกตัวอย่างของถุงมือพօสั่งเข้าดังนี้ (ข้อมูลเพิ่มเติมที่ภาคผนวก ก)

4.1 CyberGlove

เป็นถุงมือดังภาพที่ 2.6(ก) ได้รับการพัฒนาโดย Jame Kramer ในปี 1992 ปัจจุบัน เป็นถุงมือที่ถูกจำแนกไว้ในรูปแบบสินค้าและถูกนำไปใช้ในหลายด้าน (Vamplew & Adams, 1996; วุฒิชัย วิศวกรรมคุณภาพ, 2546) ซึ่งถุงมือประกอบด้วยเซนเซอร์วัดความโค้งงอ (Flex sensor) แบ่ง 2 แบบ คือ แบบ 18 เซนเซอร์และแบบ 20 เซนเซอร์ ใช้ควบคู่กับซอฟต์แวร์ชื่อ “VirtualHand calibration” สำหรับใช้ในการปรับแต่ค่าและตัวแปรเพื่อให้เหมาะสมกับการใช้งาน ของแต่ละบุคคล โดยมีราคาจัดจำหน่ายอยู่ที่ 9,800 ดอลลาร์สหรัฐ

4.2 5DT Data Glove

จัดจำแนกโดย Fifth Dimension Technologies (5DT) ใช้เซนเซอร์ตรวจวัดความโค้ง งอเชิงแสง (Optical-fiber flexor sensor) หนึ่งเซนเซอร์ต่อการตรวจจับการงอและเหยียดนิ้วนิ้ว นิ้ว (Mehdi & Khan, 2002) ดังภาพที่ 2.6(ข) ซึ่งมีจัดจำหน่ายสองรุ่น คือ รุ่น 5 เซนเซอร์ และรุ่น 14 เซนเซอร์ ราคาจัดจำหน่าย 995 และ 5,495 ดอลลาร์สหรัฐ/ถุงมือหนึ่งข้าง ตามลำดับ

4.3 Pinch Glove

ในช่วงที่เป็นถุงมือต้นแบบถูกเรียกว่า “Chord Glove”ดังภาพที่ 2.6(ค) Mapes เป็นผู้พัฒนาขึ้นที่มหาวิทยาลัย Central Florida และจัดจำหน่ายโดยห้องปฏิบัติการ Fakespace ที่ราคา 1,899 ดอลลาร์สหรัฐ การตรวจจับทำทางของมือใช้เซนเซอร์แบบสัมผัส (Electrical contact) ติดไว้ที่ปลายนิ้วทางด้านฝ่ามือ เมื่อเซนเซอร์มากกว่าสองตัวขึ้นไปมาสัมผัสกันจะทำให้เกิดการเปลี่ยนแปลงค่าความต่างศักย์ของเซนเซอร์ ซึ่งสามารถนำมาใช้สร้างทำทางของมือได้

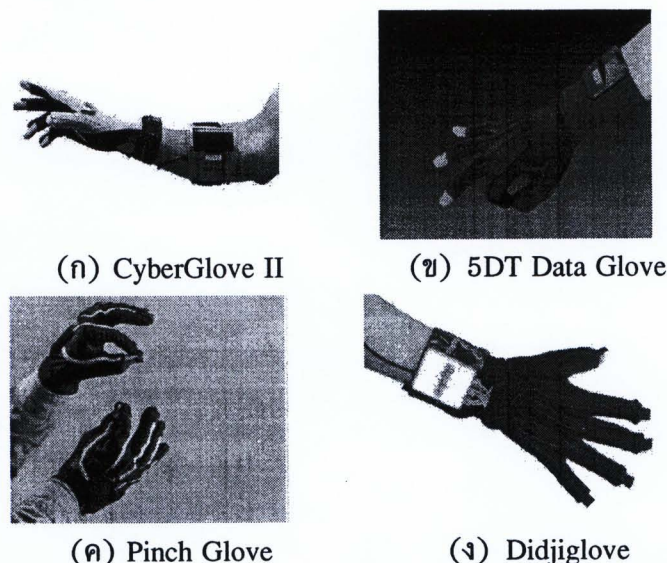
4.4 Didjiglove

ใช้เซนเซอร์ตรวจวัดความโค้งงอแบบตัวเก็บประจุ (Capacitive bend sensor) ในการ ตรวจจับการงอและเหยียดของนิ้vmือ เซนเซอร์ประกอบด้วยแผ่นพอลิเมอร์นำไฟฟ้า (Conductive polymer) จำนวนสองแผ่น เมื่อเกิดการงอของนิ้vmือจะส่งผลให้เกิดความเหลื่อม ล้ำระหว่างชั้นไฟฟ้าของแผ่นพอลิเมอร์นำไฟฟ้าทั้งสองแผ่น ผลที่ได้คือการเปลี่ยนแปลงค่าการ เก็บประจุของเซนเซอร์ ถุงมือ Didjiglove ออกแบบให้ใช้งานด้านการสร้างภาพเคลื่อนไหวบน คอมพิวเตอร์ (Computer animation) และบริษัท Didjiglove Pty เป็นผู้จัดจำหน่ายดังภาพที่ 2.6(ง) โดยราคาจัดจำหน่ายอยู่ที่ 5,000 ดอลลาร์สหรัฐ

4.5 StrinGlove

เป็นผลงานของกลุ่มวิจัยของญี่ปุ่น (Kuroda et al., 2004) ซึ่งถุงมือประกอบด้วย เชนเซอร์ 2 ชนิด คือ เชนเซอร์เหนี่ยวนำ (Inductocoder) จำนวน 24 เชนเซอร์สำหรับตรวจจับ หมุนการของนิ้วและเชนเซอร์สัมผัสชนิดตรวจจับสนามแม่เหล็ก (Contact magnetic sensor) จำนวน 9 เชนเซอร์ติดไว้ที่นิ้วทั้งสี่จำนวน 2 เชนเซอร์และอีก 1 เชนเซอร์ที่นิ้วโป้ง ปัจจุบันบริษัท Teiken Limited ในประเทศญี่ปุ่นเป็นผู้จัดจำหน่าย

จากตัวอย่างทั้งหมดของถุงมืออิเล็กทรอนิกส์ที่ได้กล่าวมาจะเห็นได้ว่า เชนเซอร์นั้นมีบทบาท สำคัญต่อตรวจจับการงอและเหยียดของนิ้วมือ การเคลื่อนที่ ตำแหน่ง และการหมุนของมือ ซึ่ง เชนเซอร์มีหน้าที่เปลี่ยนแปลงลักษณะเชิงมุ่งของนิ้วมือไปเป็นสัญญาณทางไฟฟ้าไม่ว่าจะเป็น สัญญาณแบบอนาล็อกหรือสัญญาณแบบดิจิตอลส่งไปยังหน่วยประมวลผลหรือคอมพิวเตอร์ เพื่อทำการวิเคราะห์ข้อมูลต่อไป



ภาพที่ 2.6 ประเภทของถุงมืออิเล็กทรอนิกส์ (Dipietro et al., 2008)

5. โครงข่ายประสาทเทียม

การจัดจำรูปแบบเป็นวิธีการในการจำแนกประเภทของข้อมูลโดยอ้างอิงค่าความสำคัญ หรือ ค่าความน่าจะเป็นของข้อมูล ซึ่งข้อมูลนี้ได้มาจากการวัด การสังเกต หรือการตรวจจับ เช่น ภาพใบหน้า เสียง ลายเซ็น และวิดีโอ เป็นต้น ค่าความสำคัญ และค่าความน่าจะเป็นของข้อมูลได้ จากการคำนวณ และเปรียบเทียบกับกลุ่มของข้อมูลตัวอย่างที่สอนให้กับระบบ ทำให้ คอมพิวเตอร์สามารถแยกแยะประเภทของข้อมูลได้ด้วยตนเอง

5.1 ความหมายของโครงข่ายประสาทเทียม

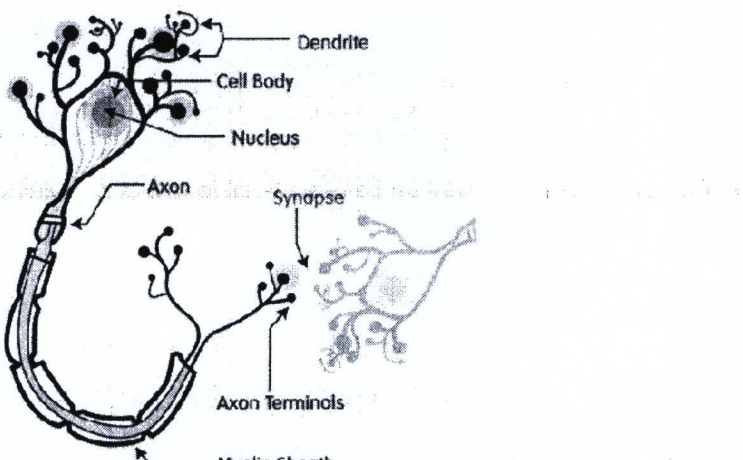
โครงข่ายประสาทเทียม (Neural network) หมายถึง แบบจำลองทางคณิตศาสตร์ที่ประกอบด้วยหน่วยประมวลผลง่าย ๆ จำนวนมาก เพื่อเลียนแบบการทำงานของระบบประสาทภายในสมองมนุษย์ เนื่องจากสมองมนุษย์สามารถจดจำ จำแนก วิเคราะห์ และเรียนรู้สิ่งต่าง ๆ ที่มีความซับซ้อนได้ดีกว่าคอมพิวเตอร์ แต่อย่างไรก็ตามคอมพิวเตอร์ก็มีประสิทธิภาพในการทำงานเร็วกว่าสมองมนุษย์ ดังนั้นโครงข่ายประสาทเทียมจึงเป็นแบบจำลองที่ช่วยเพิ่มประสิทธิภาพของคอมพิวเตอร์ในการแก้ปัญหาที่ซับซ้อนทางคณิตศาสตร์ วิทยาศาสตร์ และวิศวกรรมศาสตร์ เป็นต้น สิ่งที่ได้คือ ลดขั้นตอนในการทดลอง ลดทรัพยากรในการทดลอง และผลการทดลองที่แม่นยำรวมถึงการพัฒนาเทคโนโลยีที่เร็วขึ้น

สมองของมนุษย์ประกอบไปด้วยเซลล์ประสาท (Neuron) ขนาดเล็กจำนวนหลายล้านเซลล์ แต่ละเซลล์เป็นหน่วยประมวลผลอย่างง่ายประกลบด้วย (ภาพที่ 2.7)

5.1.1 ตัวเซลล์ซึ่งเรียกว่า โซมา (Soma) ภายในมีนิวเคลียส (Nucleus) ทำหน้าที่เป็นหน่วยประมวลผลของเซลล์ประสาท

5.1.2 กิ่งก้านสาขา (Dendrite) เป็นเส้นใยบาง ๆ ที่เซลล์ประสาทใช้รับสัญญาณไฟฟ้าเข้าสู่เซลล์ แต่ละเซลล์ประสาทจะมีกิ่งก้านสาขาจำนวนมากกระจายตัวกันลักษณะเหมือนกิ่งไม้

5.1.3 เส้นประสาทหลัก (Axon) มีหน้าที่เป็นทางส่งสัญญาณไฟฟ้าไปยังเซลล์ประสาทอื่น ๆ โดยส่วนปลายของเส้นประสาทหลักจะแตกออกเป็นกิ่งก้านย่อย ๆ ซึ่งส่วนปลายของแต่ละกิ่งก้านเหล่านี้มีลักษณะเป็นปม และเชื่อมต่อกับปลายของกิ่งก้านสาขาของเซลล์ประสาทอื่น บริเวณที่เป็นรอยต่อระหว่างปลายเส้นประสาทหลักกับกิ่งก้านสาขาเรียกว่า “จุดประسانประสาท” (Synapse) สัญญาณไฟฟ้าที่ถูกส่งมาถึงปลายของเส้นประสาทหลักจะกระตุ้นให้เกิดการส่งผ่านสัญญาณเชิงเคมีผ่านจุดประسانประสาท สัญญาณเชิงเคมีดังกล่าวจะถูกกิ่งก้านสาขาแบ่งเป็นสัญญาณไฟฟ้าวิ่งเข้าสู่เซลล์ประสาท

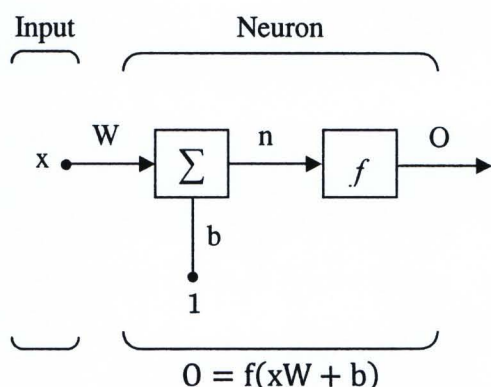


ภาพที่ 2.7 เซลล์ประสาท (Sparknotes, 2009)

เซลล์ประสาทเหล่านี้ทำงานด้วยปฏิกริยาไฟฟ้าเคมี เมื่อมีสิ่งเร้าจากภายนอก หรือการกระตุ้นจากเซลล์ประสาทด้วยกัน สัญญาณไฟฟ้าจะผ่านกิ่งก้านสาขาเข้าสู่ตัวเซลล์ โดยมีนิวเคลียสทำหน้าที่ในการตรวจสอบแรงกระตุ้นจากสัญญาณไฟฟ้าว่าจะมีการกระตุ้นเซลล์ประสาทอีกต่อหรือไม่ ถ้าสัญญาณไฟฟ้าที่ได้รับแรงพอนิวเคลียสจะส่งผ่านสัญญาณไฟฟ้าต่อไปยังเซลล์ประสาทนั้นผ่านทางเส้นประสาทหลัก ด้วยกระบวนการนี้ทำให้เกิดการเชื่อมต่อกันระหว่างเซลล์ประสาทจนเป็นเครือข่ายขนาดใหญ่ที่ทำงานร่วมกัน

5.2 โครงสร้างของโครงข่ายประสาบที่ยม

การทำงานของโครงข่ายประสาบที่ยมอาศัยหน่วยประมวลผลขนาดเล็กที่เรียกว่า นิวรอล (Neuron) ที่เชื่อมต่อกันเป็นเครือข่ายดังภาพที่ 2.8



ภาพที่ 2.8 นิวรอล

เมื่อ x คือ ข้อมูลนำเข้า

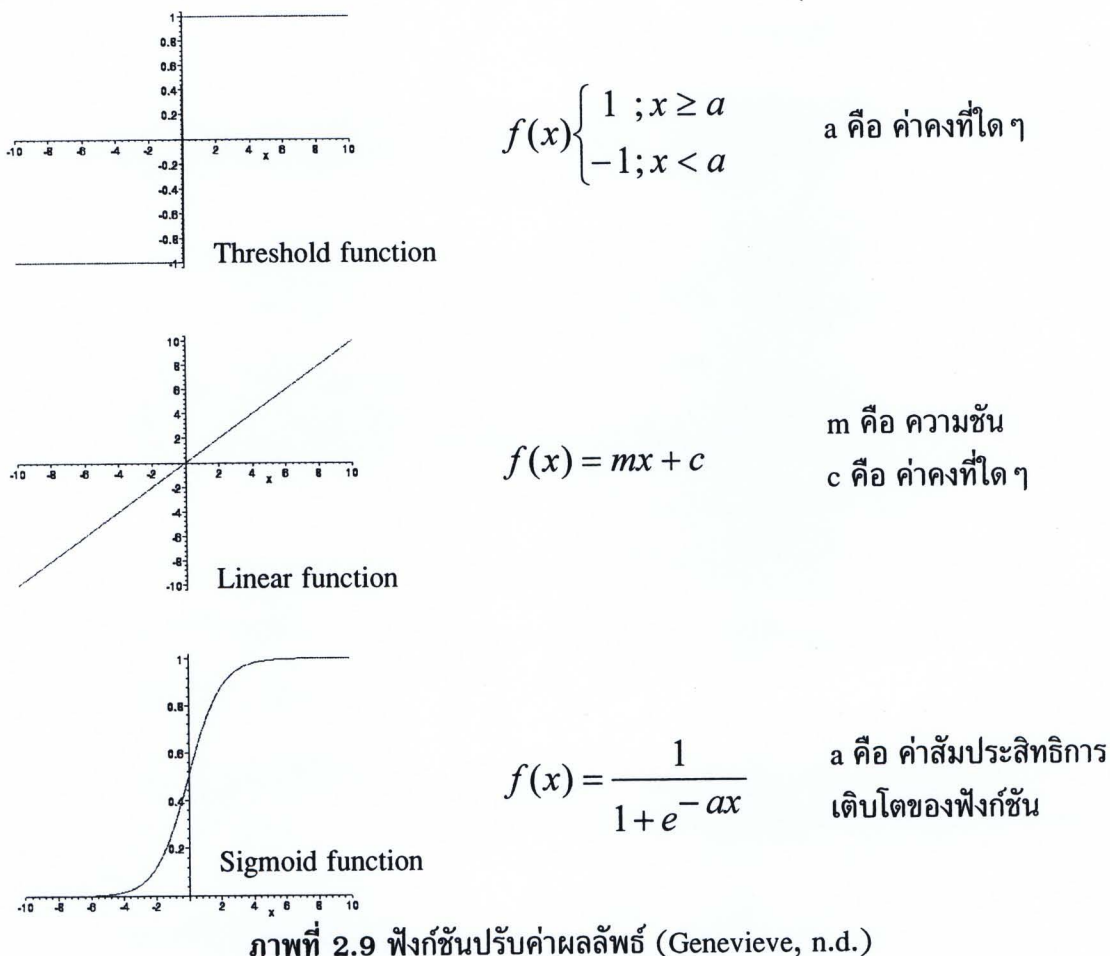
W คือ ค่าน้ำหนักที่ใช้ในการปรับปรุงข้อมูลนำเข้า

b คือ ค่าความลำเอียง (Bias) ที่ให้แก่ระบบมีค่าเท่ากับ 1

f คือ พิงก์ชันสำหรับการปรับค่าผลลัพธ์ (Activation function)

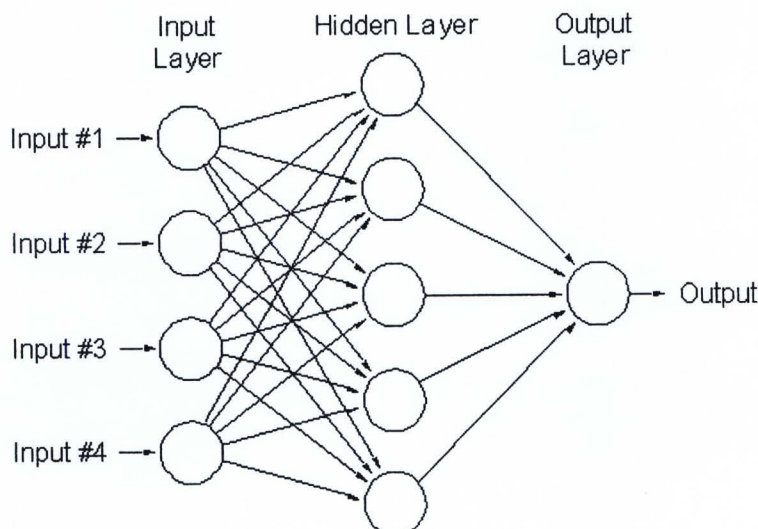
O คือ ค่าผลลัพธ์ที่ได้จากการนิวรอล

พิงก์ชันปรับค่าผลลัพธ์ (Activation function) เป็นพิงก์ชันแบบเชิงเส้นและแบบไม่เป็นเชิงเส้น โดยทำหน้าที่แปลงข้อมูลให้อยู่ในช่วงที่เหมาะสมเพื่อง่ายต่อการตรวจสอบ พิงก์ชันปรับค่าผลลัพธ์มีอยู่หลายรูปแบบและที่นิยมใช้กันมากมีอยู่ 3 แบบ คือ พิงก์ชันทำหนบ (Threshold function) พิงก์ชันเชิงเส้น (Linear function) และพิงก์ชันซิกมอยด์ (Sigmoid function) ดังแสดงในภาพที่ 2.9 การใช้งานพิงก์ชันจะต้องเลือกให้เหมาะสมกับค่าของผลลัพธ์ที่ต้องการ



โครงข่ายประสาทเทียมสามารถสร้างแบบจำลองทางคณิตศาสตร์ที่จำลองการทำงานของสมองมนุษย์ ได้โดยการนำเอา.niirovolumaha ตัวมาเชื่อมต่อกัน ซึ่งจะมีโครงสร้างแบบหลายชั้นดังภาพที่ 2.10 โครงสร้างโครงข่ายประสาทเทียมแบบหลายชั้น (Multi-layer perceptron network) เป็นโครงสร้างที่ถูกใช้งานอย่างแพร่หลายและประกอบด้วยชั้นอินพุต (Input layer) ทำหน้าที่รับค่าอินพุตแล้วส่งไปยังแต่ละโนนด (Node) ในชั้นถัดไปโดยไม่มีการประมวลผล ชั้นเอาท์พุต (Output layer) เป็นชั้นสุดท้ายทำหน้าที่ประมวลผลและแสดงค่าผลลัพธ์ของโครงข่าย ชั้นซ่อนเร้น (Hidden layer) เป็นชั้นที่อยู่ระหว่างชั้นอินพุตและชั้นเอาท์พุตสามารถมีได้มากกว่า 1 ชั้น โดยทำหน้าที่ประมวลผลค่าอินพุตที่ได้จากเอาท์พุตของชั้นก่อนหน้าและส่งผลลัพธ์ไปยังอินพุตของชั้นถัดไป ซึ่งแต่ละชั้นประกอบด้วยโนนดอย่างน้อย 1 โนนดและจะมีจำนวนโนนดเท่าไรก็ได้ขึ้นกับการออกแบบและความเหมาะสมในการแก้ไขปัญหา โนนดแต่ละโนนดในชั้นต่างๆ จะมีการเชื่อมต่อกันโดยกำหนดค่าไว้ค่านึงเรียกว่า “น้ำหนัก” (Weight) ซึ่งกระบวนการเรียนรู้ (Learning) ของโครงข่ายประสาทเทียมจะมีการเปลี่ยนแปลงค่าน้ำหนักให้มีความเหมาะสมกับข้อมูลอินพุตและเอาท์พุตของข้อมูลตัวอย่างที่ได้รับเข้ามา โดย

การปรับค่าน้ำหนักที่ละน้อยจากการเรียนรู้ในแต่ละครั้ง เมื่อมีการเรียนรู้มากซึ่งค่าความผิดพลาด (Learning error) ก็จะลดลง



ภาพที่ 2.10 โครงสร้างของโครงข่ายประสาทเทียมแบบหลายชั้น (Stewart A. R., n.d.)

5.3 กระบวนการของโครงข่ายประสาทเทียม

เป็นกระบวนการของโครงข่ายประสาทเทียมที่ใช้ในการปรับค่าน้ำหนักของโครงข่ายให้มีความเหมาะสม ซึ่งสามารถทำงานตามลักษณะพิเศษของกลุ่มข้อมูลตัวอย่างของอินพุตและเอาท์พุตที่ป้อนให้กับโครงข่าย ดังนั้นปัจจัยที่มีผลกับประสิทธิการทำงานของโครงข่ายประสาทเทียมจึงขึ้นอยู่กับการปรับค่าน้ำหนักด้วย

5.3.1 การเรียนรู้แบบกำหนดเป้าหมาย (Supervised learning) เป็นการเรียนรู้ที่มีการปรับค่าน้ำหนักของโครงข่าย เพื่อให้ได้ชุดคำตอบที่มีค่าถูกต้อง หรือใกล้เคียงกับชุดข้อมูลเอาท์พุตของกลุ่มเป้าหมายที่ป้อนให้กับโครงข่าย ซึ่งการเรียนรู้แบบนี้เปรียบได้กับการสอนนักเรียนโดยมีครูเป็นผู้สอน

5.3.2 การเรียนรู้แบบไม่กำหนดเป้าหมาย (Unsupervised learning) เป็นการเรียนรู้แบบไม่มีการป้อนข้อมูลกลุ่มเป้าหมาย ดังนั้นโครงข่ายประสาทเทียมจะทำการปรับค่าน้ำหนักและจัดเรียงโครงสร้างตามลักษณะของข้อมูล โดยผลลัพธ์จะอยู่ในรูปแบบการจัดหมวดหมู่ของข้อมูล ซึ่งเปรียบได้กับการแยกแยะพันธุ์พืช หรือพันธุ์สัตว์ตามลักษณะรูปร่างโดยไม่มีผู้สอน

5.4 กระบวนการเรียนรู้แบบแพร่ย้อนกลับ (Back propagation algorithm)

กระบวนการเรียนรู้แบบแพร่ย้อนกลับเป็นการเรียนรู้แบบกำหนดเป้าหมาย เพื่อทำการปรับค่าน้ำหนักของแต่ละโหนดในแต่ละชั้นให้ได้ชุดคำตอบที่ดีที่สุด โดยการปรับค่าน้ำหนักจะขึ้นอยู่กับค่าความผิดพลาดระหว่างค่าเอาท์พุตเป้าหมายกับค่าเอาท์พุตที่คำนวณจากโครงข่าย

สำหรับโครงสร้างของกระบวนการเรียนรู้แบบย้อนกลับเป็นแบบหลายชั้นดังภาพที่ 2.10 มี
ขั้นตอนของการเรียนรู้แบบแพร่ย้อนกลับมีดังภาพที่ 2.11

กำหนดจำนวนโหนดในแต่ละชั้นของโครงข่ายประสาทเทียม โดยให้ชั้นอินพุตมีจำนวน
โหนด n โหนด ชั้นช่องเล่นมีจำนวน m โหนด และชั้นเอาท์พุตมีโหนดทั้งหมด k โหนด
จากนั้นกำหนดจำนวนรอบการเรียนรู้ (Iteration) และค่าความผิดพลาด (Learning error)

$$u_i = \sum_{i=1}^n x_i W_{ij} + bias_j \quad (2.2)$$

โดยที่

$$H_j = f(u_j) \quad (2.3)$$

กำหนดให้

u_j คือ ค่าอินพุตชั้นช่องเล่นโหนดที่ j

u_k คือ ค่าอินพุตชั้นเอาท์พุตโหนดที่ k

x_i คือ ค่าเอาท์พุตชั้นอินพุตโหนดที่ i มีค่าเท่ากับค่าอินพุตของชั้นอินพุต

H_j คือ ค่าเอาท์พุตชั้นช่องเล่นโหนดที่ j

O_k คือ ค่าเอาท์พุตชั้นเอาท์พุตโหนดที่ k

W_{ij} คือ ค่าน้ำหนักที่เชื่อมต่อระหว่างโหนดที่ i ในชั้นอินพุตกับโหนดที่ j ในชั้น
ช่องเล่น

W_{jk} คือ ค่าน้ำหนักที่เชื่อมต่อระหว่างโหนดที่ j ในชั้นช่องเล่นกับโหนดที่ j ใน
ชั้นเอาท์พุต

$bias_j$ คือ ค่าความล้าเอียงโหนด j ของชั้นช่องเล่น

$bias_k$ คือ ค่าความล้าเอียงโหนด k ของชั้นเอาท์พุต

t_k คือ ค่าเอาท์พุตเป้าหมายที่โหนด k

α คือ อัตราการเรียนรู้ (Learning rate) มีค่าอยู่ในช่วง $(0, 1)$

δ คือ ค่าความไว (Sensitivity) ของค่าความผิดพลาดเทียบกับค่า n ที่โหนด j
และ $k (0, 1)$



เริ่มต้น

กำหนดค่าหน้าหนัก และค่าความล้าเฉียงเริ่มต้นให้กับ
โครงข่ายประสาทเทียม ซึ่งเป็นค่าสุ่มในช่วง (-1, 1)

คำนวณค่า u_j จากสมการ 2.2 สำหรับแต่ละโหนด j ของชั้นช่องเลี้น

คำนวณค่าเอาท์พุตจากสมการ 2.3 สำหรับแต่ละโหนด j ของชั้นช่องเลี้น โดยใช้ฟังก์ชัน sigmoid เป็นฟังก์ชันปรับค่าผลลัพธ์

$$f(u_j) = \frac{1}{1 + e^{-u_j}}$$

คำนวณค่า u_k จากสมการ 3.2 สำหรับแต่ละโหนด k ของชั้นเอาท์พุต

คำนวณค่าเอาท์พุตจากสมการ 3.3 สำหรับแต่ละโหนด k ของชั้นเอาท์พุต โดยใช้ฟังก์ชัน sigmoid เป็นฟังก์ชันปรับค่าผลลัพธ์

$$f(u_k) = \frac{1}{1 + e^{-u_k}}$$

นำค่า O_k เปรียบเทียบกับค่าเอาท์พุตเป้าหมาย t_k และคำนวณหาค่าความผิดพลาดที่เกิดขึ้น

ค่าความผิดพลาดที่ได้ น้อยกว่า
ค่าความผิดพลาดที่กำหนดไว้

ใช่

สิ้นสุด

ไม่ใช่

คำนวณค่าการปรับค่าหน้าหนักสำหรับเลี้นเชื่อมต่อระหว่างชั้นช่องเลี้น กับชั้นเอาท์พุต

$$\Delta W_{jk} = \alpha \delta_k H_j \text{ โดยที่ } \delta_k = (t_k - O_k) f'(u_k)$$

คำนวณค่าการปรับค่าหน้าหนักสำหรับเลี้นเชื่อมต่อระหว่างชั้นอินพุตกับ ชั้นช่องเลี้น

$$\Delta W_{ij} = \alpha \delta_j X_i \text{ โดยที่ } \delta_j = \sum_{k=1}^p \delta_k W_{jk} f'(u_k)$$

ปรับค่าหน้าหนักของทุกเส้นเชื่อมจากโหนด r ไปยังโหนด s ในโครงข่าย

$$W_{rs}(\text{new}) = W_{rs}(\text{old}) + \Delta W_{rs}$$

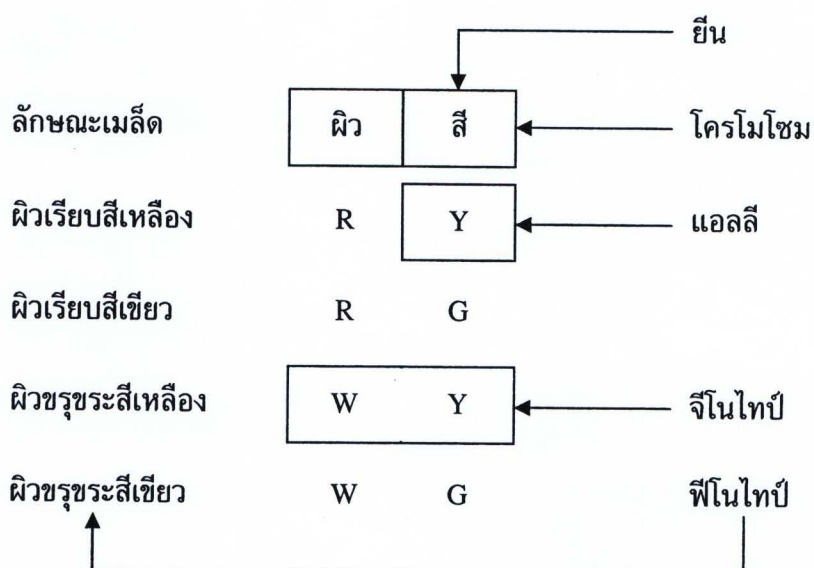
ภาพที่ 2.11 ขั้นตอนการเรียนรู้แบบย้อนกลับ

6. วิธีเชิงพันธุกรรม

6.1 ความหมายของวิธีเชิงพันธุกรรม

วิธีการเชิงพันธุกรรม (Genetic algorithm) เป็นวิธีการค้นหาคำตอบที่ดีที่สุดแบบสุ่ม (Stochastic search) ในปริภูมิที่ไม่ต่อเนื่อง (Discontinuous search space) และไม่ต้องทราบข้อมูลที่เกี่ยวกับอนุพันธ์ของฟังก์ชันวัดคุณประสงค์ (Objective function) ของปัญหา ซึ่งได้รับแนวความคิดมาจากการคัดเลือกทางพันธุกรรมตามธรรมชาติ (Natural selection) โดยตามธรรมชาติพันธุกรรมของสิ่งมีชีวิตทุกชนิดจะคัดสรรสายพันธุ์ที่ดีที่สุด สำหรับเป็นต้นแบบในการถ่ายทอดลักษณะทางพันธุกรรมแก่รุ่นถัดไปเพื่อให้ได้สายพันธุ์ที่ดีขึ้นและอยู่รอดต่อไป

สิ่งมีชีวิตทุกชนิดจะมีโครงสร้างและลักษณะที่แตกต่างกันออกไปตามโครโนโซม (Chromosome) โดยมีหน่วยที่ใช้ในการเก็บลักษณะต่าง ๆ อยู่ภายในโครโนโซมเรียกว่า “ยีน” (Genes) ซึ่งค่าที่ใช้แทนลักษณะต่าง ๆ ของยีนเรียกว่า “แอลลี” (Allele) และมีจีโนไทป์ (Genotype) เป็นชุดของลักษณะต่าง ๆ ของยีน ส่วนการแสดงลักษณะภายนอก เช่น ผิวสีดำ ผิวขาว เป็นต้น เรียกว่า “ฟีโนไทป์” (Phenotype) ดังภาพที่ 2.12 สำหรับตารางที่ 2.4 แสดงความสัมพันธ์ระหว่างวิธีเชิงพันธุกรรมกับพันธุศาสตร์



ภาพที่ 2.12 ลักษณะทางพันธุกรรมของโครโนโซมของเมล็ดถั่ว ดัดแปลงจาก (ณวัฒน์ นันทะเสน, 2547)

ตารางที่ 2.4 ความสัมพันธ์ระหว่างวิธีเชิงพันธุกรรมกับพันธุศาสตร์

| พันธุศาสตร์ | วิธีเชิงพันธุกรรม |
|-----------------------|--|
| โครโนโซม (Chromosome) | สตริง (String) |
| ยีน (Genes) | บิต (Character, Bit) |
| แอลลี (Allele) | ค่าของบิต (Character Value, Bit Value) |
| โลกัส (Locus) | ตำแหน่ง (String Position) |
| จีโนไทป์ (Genotype) | โครงสร้าง (Structure) |
| ฟีโนไทป์ (Phenotype) | โครงสร้างคำตอบ (A decode structure) |

(ณวัฒน์ นันทะเสน, 2547)

6.2 ขั้นตอนการทำงานของวิธีเชิงพันธุกรรม

6.2.1 กำหนดฟังก์ชันความเหมาะสม (Fitness function) การกำหนดฟังก์ชันความเหมาะสมสำหรับแต่ละปัญหา เพื่อวัดค่าความเหมาะสมสูงสุดหรือวัดค่าความเหมาะสมต่ำสุด

6.2.2 สุ่มค่าเพื่อสร้างประชากร (Population) ประชากร คือ ชุดของโครโนโซมที่สร้างขึ้นประกอบด้วย n โครโนโซม โดยรูปแบบของโครโนโซมจะต้องกำหนดให้มีความเหมาะสมกับปัญหาที่ต้องการหาคำตอบ

6.2.3 สร้างประชากรรุ่นใหม่ (New population) จำเป็นต้องอาศัยกระบวนการในการคัดเลือก การแลกเปลี่ยนพันธุกรรม การกลายพันธุ์และการแทนที่ โดยกระบวนการนี้จะกระทำซ้ำเรื่อยๆ จนกระทั่งได้ประชากรรุ่นใหม่ที่ดีที่สุด

(1) การคัดเลือก (Selection) ทำการคัดเลือกประชากรที่มีความเหมาะสมที่สุด เพื่อใช้ถ่ายทอดลักษณะทางพันธุกรรม

(2) การแลกเปลี่ยนพันธุกรรม (Crossover) คือ การนำเอาโครโนโซมของประชากรรุ่นก่อนหน้าจำนวน 2 โครโนโซมมาผสานกันเพื่อให้ได้ประชากรรุ่นใหม่

(3) การกลายพันธุ์ (Mutation) เป็นการนำเอาโครโนโซมของประชากรรุ่นเก่ามาทำการสุ่มแก้ไขค่าบางส่วนของโครโนโซม จากนั้นทำการวัดค่าความเหมาะสมของโครโนโซม หากโครโนโซมใหม่มีค่าความเหมาะสมต่ำ แสดงว่าโครโนโซมที่ได้ไม่เหมาะสมต่อการสืบทอดพันธุกรรม โครโนโซมนี้จะถูกคัดออกในขั้นตอนการคัดเลือก

(4) การแทนที่ (Reinsertion) คือ เป็นการแทนที่ประชากรรุ่นใหม่ที่เกิดขึ้นแทนประชากรรุ่นก่อนหน้า

6.3 การคัดเลือก (Selection)

การคัดเลือกเป็นขั้นตอนการเลือกประชากรที่ดีที่สุด เพื่อนำมาให้กำเนิดประชากรรุ่นใหม่ โดยการคัดเลือกจะพิจารณาจากค่าความเหมาะสม (Fitness value) ที่ดีที่สุดของปัญหา

การคัดเลือกมีเทคนิคที่นิยม 2 วิธี (พัฒนา พงศ์จริยา 2545; ชัยวัฒน์ เลิศวิริยะนันทกุล, 2549) ซึ่งมีรายละเอียดดังนี้

6.3.1 Roulette-wheel selection

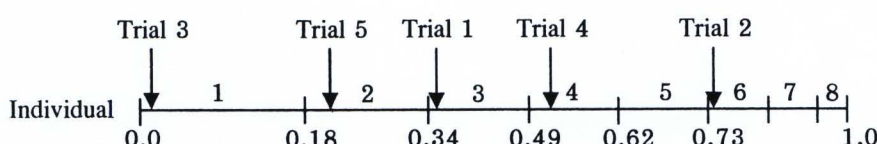
เป็นกระบวนการคัดเลือกแบบ Stochastic sampling ซึ่งมีกระบวนการดังนี้

(1) นำประชากรแต่ละตัวมาเรียงต่อกันเป็นเส้นตรงตามความยาวที่มีค่าอยู่ระหว่าง 0 ถึง 1 ดังภาพที่ 2.13 โดยช่วงความยาวของเส้นตรงหาได้จากอัตราส่วนของค่าความหมายของประชากรแต่ละตัวกับค่าความหมายรวมของประชากรทุกตัว ถ้าประชากรมีค่าความหมายมากก็จะมีความยาวมากแต่ถ้ามีค่าความหมายสนิมอยก็จะมีความยาวน้อย

(2) ทำการสุ่มตัวเลขขึ้นมาเพื่อใช้เป็นตัวชี้ไปยังตำแหน่งบนเส้นตรง

(3) ถ้าตัวชี้ไปยังประชากรตัวใดถือว่าประชากรตัวนั้นถูกเลือกใช้ให้กำเนิดประชากรรุ่นใหม่

(4) ทำขั้นตอนที่ (1) ถึง (3) จนกระทั่งได้ประชากรครบจำนวน



ภาพที่ 2.13 ขั้นตอนการคัดเลือกประชากรแบบ Roulette-wheel selection ดัดแปลงจาก (พัฒนา พงศ์จริยา, 2545)

6.3.2 Stochastic universal sampling

Stochastic universal sampling มีวิธีการคัดเลือกประชากรคล้ายกับวิธี Roulette-wheel selection แตกต่างที่ขั้นตอนการสร้างตัวชี้ ซึ่งวิธีนี้จะให้ระยะห่างระหว่างตัวชี้คงที่

(1) นำประชากรแต่ละตัวมาเรียงต่อกันเป็นเส้นตรงตามความยาวดังภาพที่ 2.14

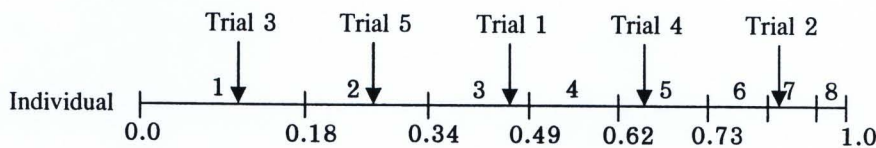
(2) สร้างตัวชี้ให้มีจำนวนตัวชี้เท่ากับจำนวนประชากรที่ต้องการใช้ให้กำเนิดประชากรรุ่นใหม่

(3) ถ้าตัวชี้ไปยังประชากรตัวใดถือว่าประชากรตัวนั้นถูกเลือกใช้ให้กำเนิดประชากรรุ่นใหม่

$$\frac{1}{N_{\text{point}}} \times \text{order} \quad (3.4)$$

เมื่อ N_{point} คือ จำนวนตัวชี้ ซึ่งเท่ากับจำนวนประชากรรุ่นเก่าที่ใช้ในการให้กำเนิดประชากรรุ่นใหม่

order คือ ลำดับตัวชี้มีค่าตั้งแต่ 1 ถึง N_{point}



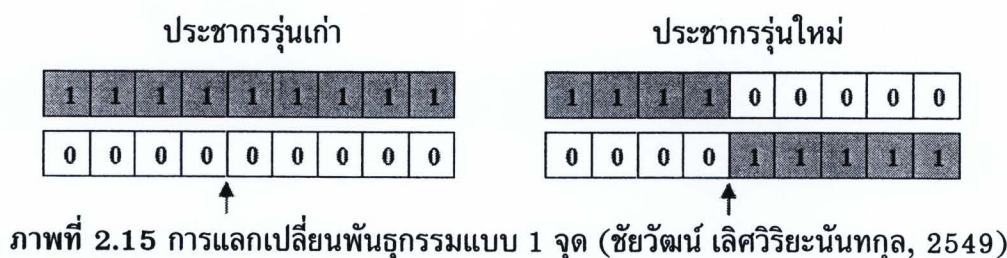
ภาพที่ 2.14 ขั้นตอนการเลือกสรรประชากรแบบ Stochastic universal sampling ดัดแปลงจาก (พัฒนา พงศ์จริยา, 2545)

6.4 การแลกเปลี่ยนพันธุกรรม (Crossover)

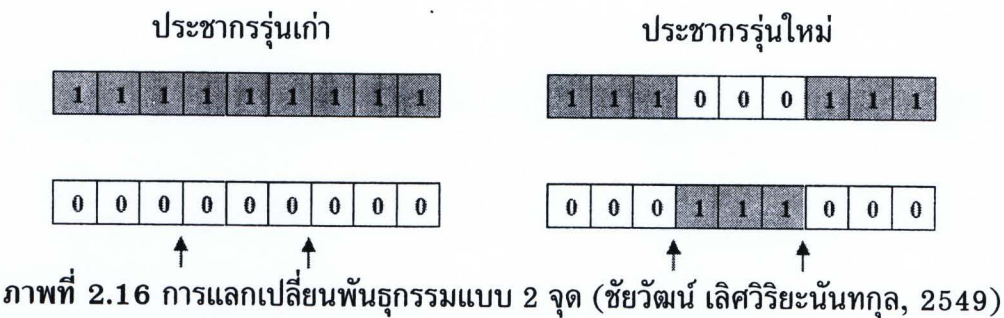
การแลกเปลี่ยนพันธุกรรมเป็นขั้นตอนสร้างประชากรรุ่นใหม่ จากการแลกเปลี่ยนยืน (Crossing-over) ระหว่างคู่โครโนซอมของประชากรรุ่นเก่าที่ได้รับการคัดเลือก กระบวนการนี้จะทำการแลกเปลี่ยนยืนจนกระทั่งได้จำนวนของโครโนซومของประชากรรุ่นใหม่เท่ากับจำนวนโครโนซومของประชากรรุ่นเก่า ซึ่งการแลกเปลี่ยนยืนไม่จำเป็นต้องเกิดขึ้นกับทุกคู่โครโนซومแต่จะขึ้อยู่กับค่าความน่าจะเป็นในการแลกเปลี่ยนยืน (Crossing-over probability) มี率为ระหว่าง 0.7 ถึง 0.9 ซึ่งขั้นตอนการแลกเปลี่ยนพันธุกรรมสามารถแบ่งออกได้เป็น 2 แบบ คือ

6.4.1 N-point crossover

จะทำการสุ่มตัวเลขที่ใช้แทนตำแหน่งในการตัดต่อคู่โครโนซอมระหว่างประชากรรุ่นเก่า โดยการแลกเปลี่ยนยืนนั้นจะเกิดขึ้นที่ด้านใดด้านหนึ่งของตำแหน่งที่สุ่มตัวเลขมา ซึ่งจำนวนจุดในการแลกเปลี่ยนยืนของโครโนซومมีค่ามากกว่าหรือเท่ากับ 1 ดังภาพที่ 2.15 และ 2.16

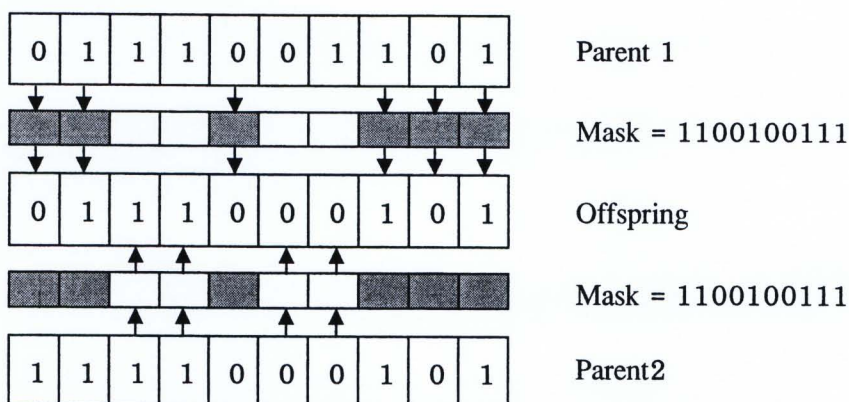


ภาพที่ 2.15 การแลกเปลี่ยนพันธุกรรมแบบ 1 จุด (ชัยวัฒน์ เลิศวิริยะนันทกุล, 2549)



6.4.2 Uniform crossover

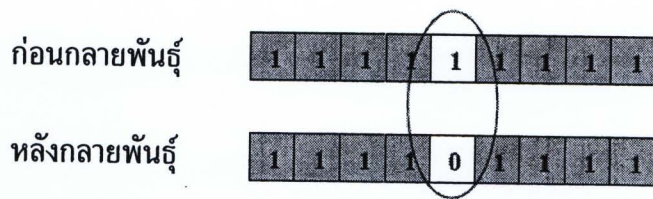
เป็นวิธีการแลกเปลี่ยนพันธุกรรมแบบหลายจุดที่ไม่กำหนดจำนวนจุดตัดสำหรับใช้ตัดต่อยีนของประชากรรุ่นเก่า การตัดต่อจะพิจารณาการแลกเปลี่ยนยืนยันระหว่างประชากรรุ่นเก่าที่ลະແອລີ້ຫຼືຄ່າຂອງບົດ เพื่อทำการตัดต่อแต่ละບົດของໂຄຣໂນໂຄມດັ່ງແສດງในภาพที่ 2.17



ภาพที่ 2.17 การแลกเปลี่ยนพันธุกรรมแบบ Uniform crossover ดัดแปลงจาก
(พัฒนา พงศ์จริยา, 2545)

6.5 การกลายพันธุ์ (Mutation)

ขั้นตอนนี้จะเปรียบเหมือนการกลยุทธ์ของสิ่งมีชีวิต ซึ่งวิธีนี้จะใช้กับประชากรุ่นใหม่ เท่านั้น ถ้าหากเปรียบเทียบกับการแก้ปัญหาการหาค่าความเหมาะสมที่ดีที่สุด ขั้นตอนนี้เป็น ขั้นตอนที่จะทำให้มีโอกาสได้คำตอบลู่เข้าสู่จุดที่ดีที่สุดจากหลายช่วง ๆ คำตอบ เพราะปัญหานี้ สามารถมีจุดคำตอบได้มากกว่าหนึ่งจุด (Sub-optimum) การกลยุทธ์จะเป็นการเปลี่ยนค่าบิต จาก 0 ไป 1 หรือจาก 1 ไป 0 ภายในแอลลี การกลยุทธ์ของข้อมูลสามารถแสดงได้ดังภาพที่ 2.18



ภาพที่ 2.18 ตัวอย่างแสดงการ基因 (ชัยวัฒน์ เลิศวิริยะนันทกุล, 2549)

6.6 การแทนที่ (Reinsertion)

เป็นการแทนที่ประชากรรุ่นใหม่ที่เกิดขึ้นแทนประชากรรุ่นก่อนหน้า ซึ่งแบ่งวิธีการแทนที่ได้ดังนี้

6.6.1 Pure reinsertion คือ การแทนที่ประชากรรุ่นก่อนหน้าทั้งหมดด้วยประชากรรุ่นใหม่

6.6.2 Uniform reinsertion คือ การแทนที่ประชากรรุ่นก่อนหน้าบางส่วนด้วยประชากรรุ่นใหม่ที่เกิดขึ้นจากการสุ่ม วิธีการนี้ในบางครั้งทำให้ประชากรรุ่นก่อนหน้าที่มีความเท่าสมที่สุดถูกแทนที่ด้วยประชากรรุ่นใหม่ ซึ่งเป็นผลให้ข้อมูลบางส่วนหายไป

6.6.3 Elitist reinsertion คือ การแทนที่ด้วยการเรียงประชากรรุ่นก่อนหน้าตามค่าความเหมาะสม จากนั้นจึงแทนประชากรรุ่นใหม่ลงไปยังตำแหน่งที่มีความเหมาะสมน้อยที่สุดไปเรื่อยๆ จนกระทั่งประชากรรุ่นใหม่ที่สร้างขึ้นถูกใช้จนหมด

6.6.4 Fitness-based reinsertion คือ การแทนที่ประชากรรุ่นก่อนหน้าบางส่วน หรือทั้งหมดด้วยประชากรรุ่นใหม่ที่มีความเหมาะสมที่ดี นั่นคือประชากรรุ่นใหม่ที่เกิดขึ้นมีเฉพาะส่วนที่มีความเหมาะสมเท่านั้นจึงจะมีสิทธิเข้าแทนที่ประชากรรุ่นเก่า

7. งานวิจัยที่เกี่ยวข้อง

เป็นการแสดงข้อมูลงานวิจัยที่เกี่ยวข้องกับการจัดจำและจำแนกภาษาเมือง โดยใช้อุปกรณ์ทางด้านฮาร์ดแวร์ในการตรวจจับท่าทางการเคลื่อนไหวของมือ เพื่อส่งไปให้ระบบเรียนรู้ไว้เป็นข้อมูลพื้นฐานสำหรับการแปลท่าทางภาษามือให้เป็นตัวอักษรหรือคำที่เป็นประโยชน์

7.1 ระบบจัดจำภาษามือด้วยโครงข่ายประสาทเทียม (Recognition of sign language gestures using neural networks)

Vamplew & Adams (1996) เสนองานวิจัยเกี่ยวกับการพัฒนาระบบจัดจำและแปลภาษามือในภาษาออสเตรเลีย อุปกรณ์ที่ใช้ในการส่งค่าเข้าสู่ระบบ คือ ถุงมือ Cyber Glove และ Polhemus IsoTak Cyber Glove ทำหน้าที่ในการตรวจจับการยืดออกของนิ้วมือ ข้อมือ ส่วน Polhemus IsoTak ทำหน้าที่บอกรตำแหน่งของมือในแนว X Y และ Z โดยทำการส่งค่าที่ได้ไปยังระบบโครงข่ายประสาทเทียมและแยกการพิจารณาข้อมูลที่ได้ออกเป็น 4 ระบบ ได้แก่

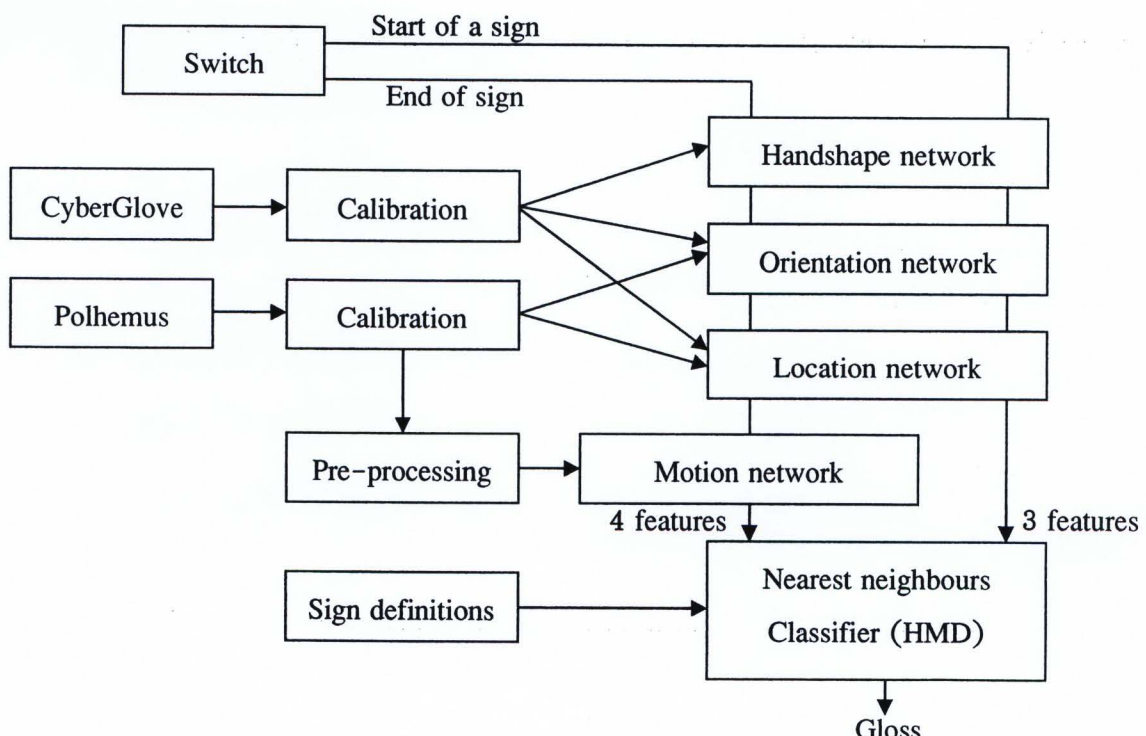
(1) Handshape recognition network วิเคราะห์รูปแบบของมือโดยมีรูปแบบหลักอยู่ทั้งหมด 30 แบบที่ใช้ในอสเตรเลียและแบ่งออกเป็นรูปแบบย่อยได้ 61 แบบ ซึ่งระบบจะมีโครงสร้างเป็น 18:40:30

(2) Orientation recognition network ทำหน้าที่แยกแยกการพลิกของมือโดยรับค่าเข้า 3 ค่า ซึ่งได้จาก Polhemus IsoTak จำนวน 1 ค่า และจากเซนเซอร์ที่ข้อมือจากถุงมือ CyberGlove จำนวน 2 ค่า โดยมีโครงสร้างของโครงข่ายเป็น 8:14:15

(3) Location recognition network ชุดของการวิเคราะห์ตำแหน่งซึ่งในภาษาอสเตรเลียสามารถแบ่งตำแหน่งออกเป็น 3 กลุ่มใหญ่ ได้แก่ ตำแหน่งที่อยู่หน้าตัวบุคคล ตำแหน่งบริเวณตัวหรือศีรษะและตำแหน่งบริเวณมือ ระบบมีโครงสร้างเป็น 11:19:19

(4) Motion recognition network ส่วนของการวิเคราะห์การเคลื่อนที่จะพิจารณาในแนวแกน 3 มิติ โดยประกอบด้วยการเคลื่อนที่ทั่วไปของมือ 6 ท่า การเคลื่อนที่ Back-and-forth 3 ท่า การหมุนมือในแนวดัง 3 ท่า และมืออยู่กับที่ 1 ท่า ซึ่งมีโครงสร้างของระบบ คือ 8:8:13

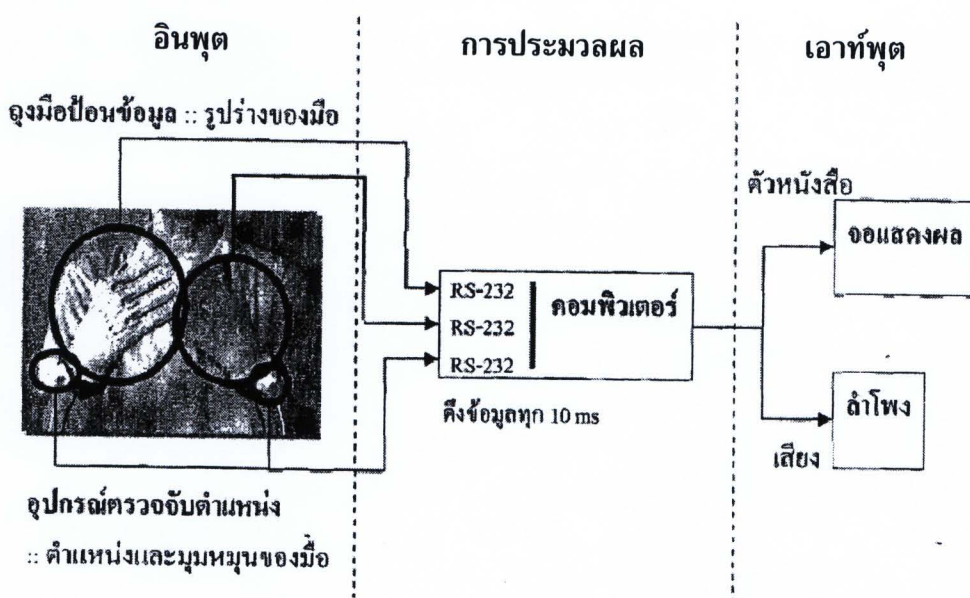
การแยกการทำงานของระบบโครงข่ายประสาทเทียมออกจากกัน ทำให้ระบบทำการจำจำ จำแนกและวิเคราะห์ข้อมูลได้เร็วขึ้น ทั้งยังสามารถทำการแก้ไขระบบได้ง่ายขึ้นซึ่งระบบการทำงานของงานวิจัยเป็นดังแสดงในภาพที่ 2.19



ภาพที่ 2.19 โครงสร้างระบบของระบบจดจำภาษามือด้วยโครงข่ายประสาทเทียม (Sign Language Recognition: SLARTI) (Vamplew & Adams, 1996)

7.2 ระบบจัดจำภาษามือไทยโดยใช้อิศตเดนماركอฟโมเดล

ระบบการจัดภาษาเมืองไทยงานวิจัยโดย วุฒิชัย วิศาลคุณา (2546) ใช้ถุงมือ Cyber Glove ร่วมกับเซ็นเซอร์บอกร่างแบบสามมิติเพื่อใช้ในการส่งข้อมูลท่าทางภาษาเมือง โดย ข้อมูลที่ได้รับเป็นการยึดของนิ้ว ตำแหน่งของมือในแนว (X Y และ Z) และการหมุนของ ข้อมือเทียบกับตำแหน่งอ้างอิงกับผู้ใช้งานดังภาพที่ 2.20 จากนั้นนำข้อมูลไปผ่านขั้นตอน ประมวลผลเบื้องต้นเพื่อแบ่งข้อมูลออกเป็นชุด คือ รูปแบบของมือ ตำแหน่งของมือ การหมุน ของมือและการเคลื่อนที่ของมือ เพื่อทำการหาจุดเริ่มต้นและจุดลิ้นสุดของภาษามือนั้น ซึ่งจะ สามารถทำให้แบ่งแยกภาษามือที่เป็นท่านี่และท่าเคลื่อนไหวได้ สำหรับการจำแนก จดจำ และ เรียนรู้ภาษาเมือนั้นอาศัยระบบอิศติเดนมาრ์คของโน้ตบุ๊ก หลังจากทำการสอนให้ระบบจดจำ ภาษามือแล้ว เมื่อผู้ใช้ท่าท่าทางภาษามือลักษณะเดียวกันระบบจะสามารถจดจำและสร้างประโยชน์ ที่ถูกต้องตามหลักไวยากรณ์พร้อมกับเลี้ยงออกทางลำโพง



ภาพที่ 2.20 องค์ประกอบของจดจำภาษาเมืองไทยโดยใช้ชิตเดนมาร์คอฟโมเดล
(วุฒิชัย วิศวัลคณा, 2546)

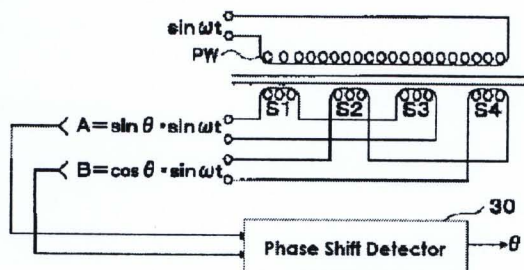
7.3 การจดจำภาษามือด้วยถุงมือติดเซนเซอร์ (Sign Language Recognition Using Sensor Gloves)

งานวิจัยของ Mehdi & Khan (2002) ได้ใช้ถุงมือ 7-Sensor Glove ที่พัฒนาโดยบริษัท 5DT สำหรับตรวจจับการเคลื่อนไหวของมือ โดยเซนเซอร์ 5 ตัวแรกตรวจจับการยืดและกางของนิ้วมือทั้งห้า อีกหนึ่งตัวใช้ตรวจจับการเอียงของมือและตัวสุดท้ายตรวจจับการหมุนของมือ เมื่อทำท่าทางภาษาเมืองมือจะทำการส่งค่าที่ได้ไปยังระบบโครงข่ายไประสาทเทียมเพื่อทำการจำแนก ใจจำและวิเคราะห์ว่าเป็นอักษรใดในภาษาอังกฤษ ซึ่งระบบโครงข่ายไประสาทเทียมมืออยู่ส่วนระดับ คือชั้นอินพุต ชั้นซ่อนเลนและชั้นเอาท์พุต โดยมีค่าจำนวนโน้นด

เท่ากับ 7:56:26 ผลที่ได้ระบบสามารถทำการจำแนกตัวอักษรภาษามืออเมริกันได้ 24 อักษร ยกเว้นตัว J และ Z เนื่องจากระบบไม่สามารถจำแนก จดจำและวิเคราะห์อักษรภาษามือ อเมริกันที่มีการเคลื่อนไหวได้

7.4 ถุงมือราคาย่อยเยาสำหรับจดจำภาษามือ (Consumer price data-glove for sign language recognition)

การพัฒนาถุงมือ String Glove ที่มีการติดตั้งเซนเซอร์เหนี่ยวนำ (Induct coder) 24 ตัว และเซนเซอร์แบบสัมผัส (Contact sensor) 9 ตัว เป็นผลงานวิจัยของ Kuroda et al. (2004) ซึ่งใช้ถุงมือสำหรับตรวจจับท่าทางการเคลื่อนไหวของมือและข้อมือ เพื่อลดต้นทุนที่จะต้องซื้อถุงมือจากต่างประเทศที่มีราคาสูง เซนเซอร์เหนี่ยวนำทำหน้าที่ตรวจจับการยืดการงอของนิ้วและข้อมือ โดยอาศัยการหลักการทำงานของแม่เหล็กไฟฟ้าทำให้เกิดสัญญาณแบบเชิงเส้นและอยู่ในรูปของ $\sin(\Theta) \cdot \sin(\Omega t)$ และ $\cos(\Theta) \cdot \sin(\Omega t)$ ดังภาพที่ 2.21



ภาพที่ 2.21 วงจรของเซนเซอร์เหนี่ยวนำ (Kuroda et al., 2004)

Kuroda และคณะกล่าวว่าได้ทำการศึกษารูปแบบภาษามือทั่วโลกและสรุปได้ว่าต้องมีการติดตั้ง เซนเซอร์แบบสัมผัสทั้ง 9 ตัวดังภาพที่ 2.22(ก) นอกจากนี้การติดเซนเซอร์แบบสัมผัสยังสามารถที่จะใช้ในการตรวจสอบการไขว้กันของนิ้vmือที่แสดงถึงอักษร “ra” ในภาษาญี่ปุ่นดังภาพที่ 2.22(ข) ส่วนการวิเคราะห์ท่าทางภาษามือได้มีการกำหนดรูปแบบการเข้ารหัสเอาไว้ เพื่อเป็นการลดการทำงานของชีพียู (CPU) ลงดังตารางที่ 2.5



(ก)



(ข)

ภาพที่ 2.22 (ก) ตำแหน่งการติดตั้งเซนเซอร์แบบสัมผัส (ข) ตัวอักษรญี่ปุ่นคำว่า “ra”: Yohei (Kuroda et al., 2004)

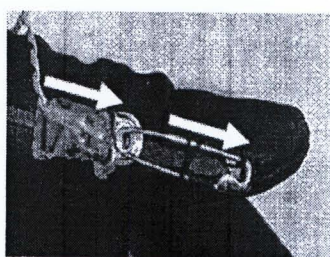
ตารางที่ 2.5 ตัวอย่างการเข้ารหัส

| รหัส | สถานะของนิ้วมือ |
|------|--|
| H | Full stretches of all fingers |
| B | Full bending of all fingers |
| b | Bending of all fingers |
| F | Bending of first and second joints |
| A | Abduction between fingers |
| G | Abduction of first joint in thumb, bending of second and third joints in thumb |
| I | Adduction of first joint in thumb, stretch of second and third joints in thumb |
| T | Touch between fingertips |

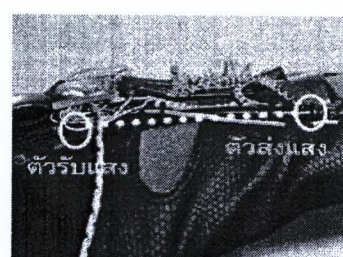
(Kuroda et al., 2004)

7.5 โปรแกรมแปลและช่วยสอนภาษาเมือง

การพัฒนาโปรแกรมการแปลและช่วยสอนภาษาเมือง (ธเนศ อุไรเรืองพันธ์ & ดารณี ห้อมดี, 2549) ได้พัฒนาถูกเมืองที่ติดเชนเชอร์ปรับค่าได้และเชนเชอร์แสงที่ตัดเปล่งขึ้นดังแสดงในภาพที่ 2.23 เพื่อใช้ในการตรวจสอบการของนิ้วตามข้อทั้งหมด 9 จุด โปรแกรมพัฒนาจากภาษา VB.Net ทำหน้าที่ควบคุมการทำงานของฮาร์ดแวร์ จำแนก จดจำภาษาเมืองและแสดงผล การแปลภาษาเมืองเป็นตัวอักษรภาษาไทยหรืออังกฤษ



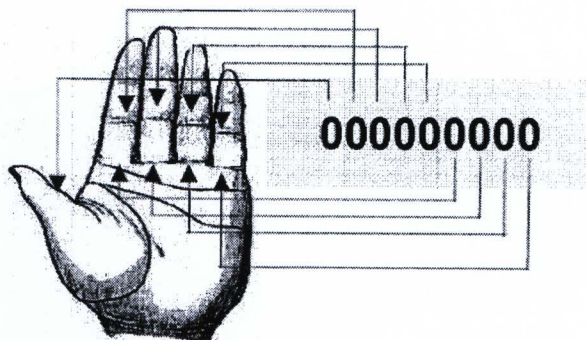
(ก)



(ข)

ภาพที่ 2.23 (ก) เชนเชอร์ปรับค่าได้ (ข) เชนเชอร์แสงพร้อมตัวรับแสง
(ดารณี ห้อมดี และคณะ, 2549)

การวิเคราะห์หาคำศัพท์และภาพที่ตรงกับการทำทางภาษาเมืองจะใช้วิธีกำหนดช่วงของการของนิ้วเมืองดังภาพที่ 2.24 โดยมีค่าเท่ากับ 0 เมื่อนิ้วเหยียดตรง มีค่าเท่ากับ 1 เมื่อมีการกำมือและถ้าองนิ้วมีค่าเท่ากับ 2 จากนั้นนำข้อมูลที่ได้เชนเชอร์ทั้ง 9 ตัวมาต่อ กันเป็นรูปแบบข้อมูลใหม่เพื่อทำการตรวจสอบหาค่าที่ตรงกันในฐานข้อมูล โดยฐานข้อมูลจะจัดเก็บรูปแบบข้อมูลอักษรภาษาไทย ภาษาอังกฤษและตำแหน่งที่จัดเก็บภาพ



ภาพที่ 2.24 การกำหนดรูปแบบข้อมูล (ธเนศ อุไรเรืองพันธ์ & ดาวณี หอมดี, 2549)

ระบบนี้สามารถที่จะทำการแปลงภาษาเมืองที่เป็นตัวอักษรภาษาไทย 10 ตัว และภาษาอังกฤษ 15 ตัว นอกจากนี้โปรแกรมนี้ยังประกอบด้วย เกมเพื่อความบันเทิงและการฝึกทักษะเพื่อช่วยสอนภาษาเมือง

อย่างไรก็ตามถุงมืออิเล็กทรอนิกส์ที่ถูกนำมาใช้ตรวจจับท่าทางของมือสำหรับงานวิจัยที่เกี่ยวข้องในหัวข้อที่ 7.1 ถึง 7.3 รวมถึงถุงมืออิเล็กทรอนิกส์ในหัวข้อที่ 7.4 ซึ่งได้มีการปรับปรุงประสิทธิภาพการทำงานและถูกจัดจำหน่ายเป็นผลิตภัณฑ์ในปัจจุบัน ถุงมือที่กล่าวมาทั้งหมดนี้มีราคาค่อนข้างสูง โดยงานวิจัยนี้เป็นงานวิจัยที่ต่อยอดการพัฒนาจากหัวข้อที่ 7.5 ซึ่งได้ทำการเปลี่ยนแปลงเชนเชอร์ที่ใช้ในการตรวจจับการกรอและเหยียดนิ้วมือใหม่ เนื่องจากเชนเชอร์วัดความต้านทานเป็นเชนเชอร์ที่เสียหายได้ง่ายและมีเสถียรภาพระดับปานกลาง ส่วนเชนเชอร์วัดแสงสามารถให้ข้อมูลเพียง 0 กับ 1 เท่านั้นซึ่งมีระดับการตรวจจับที่น้อย ดังนั้นงานวิจัยนี้จึงมีวัตถุประสงค์ที่จะพัฒนาต้นแบบถุงมืออิเล็กทรอนิกส์ที่มีประสิทธิภาพเหมาะสมสำหรับการตรวจจับท่าทางของมือที่มีต้นทุนต่ำและมีความคงทนต่อการใช้งาน ร่วมกับการพัฒนาต้นแบบซอฟต์แวร์การเรียนรู้และจัดจำภาษามือไทยด้วยวิธีเชิงพันธุกรรม จากนั้นจึงนำต้นแบบถุงมืออิเล็กทรอนิกส์และต้นแบบซอฟต์แวร์รวมกันเป็นระบบจัดจำภาษามือไทย เพื่อช่วยลดช่องว่างการสื่อสารระหว่างบุคคลทั่วไปกับผู้พิการด้านการฟัง